

Tingidae (Tinginae) d'Arabie, de la région Orientale et d'Australie, avec la description d'un genre nouveau et de 14 espèces nouvelles (Hemiptera)

Autor(en): **Péricart, J.**

Objektyp: **Article**

Zeitschrift: **Entomologica Basiliensia**

Band (Jahr): **15 (1992)**

PDF erstellt am: **20.09.2024**

Persistenter Link: <https://doi.org/10.5169/seals-980524>

Nutzungsbedingungen

Die ETH-Bibliothek ist Anbieterin der digitalisierten Zeitschriften. Sie besitzt keine Urheberrechte an den Inhalten der Zeitschriften. Die Rechte liegen in der Regel bei den Herausgebern.

Die auf der Plattform e-periodica veröffentlichten Dokumente stehen für nicht-kommerzielle Zwecke in Lehre und Forschung sowie für die private Nutzung frei zur Verfügung. Einzelne Dateien oder Ausdrucke aus diesem Angebot können zusammen mit diesen Nutzungsbedingungen und den korrekten Herkunftsbezeichnungen weitergegeben werden.

Das Veröffentlichen von Bildern in Print- und Online-Publikationen ist nur mit vorheriger Genehmigung der Rechteinhaber erlaubt. Die systematische Speicherung von Teilen des elektronischen Angebots auf anderen Servern bedarf ebenfalls des schriftlichen Einverständnisses der Rechteinhaber.

Haftungsausschluss

Alle Angaben erfolgen ohne Gewähr für Vollständigkeit oder Richtigkeit. Es wird keine Haftung übernommen für Schäden durch die Verwendung von Informationen aus diesem Online-Angebot oder durch das Fehlen von Informationen. Dies gilt auch für Inhalte Dritter, die über dieses Angebot zugänglich sind.

Entomologica Basiliensia	15	45-86	1992	ISSN 0253-2484
--------------------------	----	-------	------	----------------

Tingidae (Tinginae) d'Arabie, de la région Orientale et d'Australie, avec la description d'un genre nouveau et de 14 espèces nouvelles (Hemiptera)

par **J. Péricart**

Abstract: Tingidae (Tinginae) from Arabia, Oriental region and Australia, with the description of a new genus and 14 new spp.- This paper gathers the results of study of different materials of Tingidae (subfamily Tinginae) coming from Arabia, Oriental Region and Australia.- New taxa described and illustrated: *Abdastartus smetanai* n.sp., N-Borneo; *Agramma viti* n.sp., India (Himachal Pradesh); *Acalypta detrita* n.sp., India (Himachal Pradesh); *Acalypta viti* n.sp., India (Himachal Pradesh); *Compseuta yemeni* n.sp., Yemen; *Hebetingis crux*, n.sp., N-Borneo; *Kalama josifovi* n.sp., Nepal; *Penottus abnormis* n.sp., N-Borneo; *Physatocheila brailovskyi* n.sp., Nepal and Thailande; (?*Ph.*) *brunneinervis* n.sp., Nepal; *Ph. gibbelytra* n.sp., India (Goa); *Pseudurentius elegans*, n. gen., n.sp., N-Borneo; *Tanytingis latipennis* n.sp., Thailande; (? *Ulonemia*) *burckhardtii* n.sp., Australia (NSW). New combination: *Trachy-peplus borneensis* Péricart 1986, transferred to *Pseudurentius* n.gen.

Key-words: Hemiptera, Tingidae – Oriental Region – Australia – Arabia – taxonomy – new genus, new species.

La présente note rassemble les résultats de l'étude de divers matériels de Tingidae de la région indo-malaise, d'Australie et d'Arabie; elle concerne la sous-famille des Tinginae; l'autre sous-famille importante, Cantacaderinae, a fait l'objet d'une publication séparée.¹ On trouvera notamment ci-après la description d'un genre nouveau et de 14 espèces nouvelles, ainsi que la proposition d'une nouvelle combinaison.

Les lots de matériels examinés proviennent des missions et collectes suivantes:

Inde. Matériel adressé par le Musée de Bâle et le Dr. H. Brailovsky, Mexico: collectes V. et G. Wegener, IV.1979, VI.1986; C. J. Rai, VIII.1983; W. Wittmer, III.1984; H. Brailovsky, III-IV.1986.

Inde (Himachal Pradesh). Matériel adressé par le Musée de Genève: collectes S. Vit, X. 1988.

Népal. Matériels adressés par les Musées de Bâle et de Genève, par le Prof. M. Josifov (Sofia), et par le Dr. H. Brailovsky (Mexico): collectes P. Beron, XI.1987; H. Brailovsky, III-IV.1986; M. Brancucci, V.1983 et VI.1986; C. Holzschuh, VI.1986; C. J. Rai, V. 1984.

Thailande. Matériel adressé par le Musée de Genève: collectes D. Burckhardt et I. Löbl, X-XI.1985.

1. Voir Revue Suisse Zool. 98 (1), 1991: 33-50.

Sabah (ex Nord-Bornéo). Matériel adressé par le Musée de Genève et par le Dr. A. Smetana: collectes D. Burckhardt, I. Löbl et A. Smetana, IV-V.1987.

Vietnam. Matériel adressé par le Prof. M. Josifov, Sofia: collecte M. Josifov, IV.1978.

Australie. Matériel adressé par le Musée de Genève: collectes D. Burckhardt, XI-XII.1986.

Arabie (inclus Yemen). Matériel adressé par le Musée de Bâle et par le Dr. E. Heiss (Innsbruck): collectes W. Büttiker, IV.1985 et E. Heiss, III.1989.

Dans ce qui suit, je groupe séparément d'une part les espèces déjà connues, et d'autre part les nouveaux taxa. Pour chacun de ces groupes, et suivant l'usage qui se répand à présent pour toutes les familles importantes, les genres sont présentés par ordre alphabétique, et de même les espèces au sein de chaque genre.

Je remercie tous les Correspondants qui ont bien voulu me confier leur matériel: Dr. H. Brailovsky (Mexico); Dr. M. Brancucci (Bâle); Drs. D. Burckhardt, B. Hauser, C. Lienhard, I. Löbl (Genève); Dr. E. Heiss (Innsbruck); Prof. M. Josifov (Sofia); Dr. A. Smetana (Vancouver). Par ailleurs les identifications, et la confirmation de la nouveauté de nombreuses espèces, n'auraient pas été possibles sans la consultation de la collection de Tingidae de Distant (British Museum), et de celle de Drake (U.S. National Museum, Washington). Je suis obligé, respectivement au Dr. W. R. Dolling et au Dr. R. C. Froeschner, de m'avoir permis l'étude sur place de ces collections.

I. Espèces déjà connues

(Nota: les espèces pan-tropicales ubiquistes ne sont pas mentionnées).

Abdastartus atrus (Motschulsky)

Monanthia atra MOTSCHULSKY, 1863, Bull. Soc. Imp. Nat. Moscou 36 II(3):91.

Abdastartus atrus DRAKE, 1956, Rev. Zool. Bot. afr. 53(1-2):110.

Népal: Meghauly, Chitwan natl Park, 7.IV.1986, 6 ex., H. Brailovsky.
Connu de l'Inde et de l'île de Sri-Lanka.

Acalypta swatensis Péricart

Acalypta swatensis PÉRICART, 1985, Revue suisse Zool. 92(3):676.

Inde (Himachal Pradesh); Kalatope Sanct., E-Dalhousie, alt. 2400 m, au pied des *Viburnum* (?), 22.X.1988, 1 ex., leg. S. Vit.
Connue auparavant du Pakistan (prov. Swat), série-type.

Alloiothucha chaera Drake

Alloiothucha chaera DRAKE, 1966, Ent Meddr 34:260.

Sabah: Mt Kinabalu, alt. 1750 m, 27.IV.1987, 1 ex., Burckhardt & Löbl;
id., alt 1550-1650 m, 23.V.1987, 1 ex., mêmes collecteurs.
Connu de Sabah et de l'île de Palawan.

Alloiothucha philippinensis Drake

Alloiothucha philippinensis, DRAKE, 1927, Philip. J. Sci., 32(1):58.

Sabah: Sepilok Forest, mile 15 from Sandakan, reserve, lowland dipterocarp forest, 22.IV.1982, 1 ♂, D. Burckhardt.

Cespecimen diffère de l'holotype, que j'ai vu à l'USNM, par la présence d'une seule rangée de 5 cellules sur les lames marginales du pronotum (voir de profil). Chez l'holotype, et en accord avec la description, ces régions portent 2 rangées de petites cellules. Il faudrait disposer d'un série de spécimens pour apprécier si cette différence a une valeur spécifique.

Connu seulement auparavant de l'île de Luçon.

Ammianus ravanus (Kirkaldy)

Sakuntala ravana KIRKALDY, 1902, J Bombay nat. Hist. Soc. 14:299.

Ammianus ravanus DRAKE, 1957, Q. Jl. Taiwan. Mus. 10(1):31.

Est-Népal et Centre-Népal, séries, M. Brancucci.

Pan-Oriental, commun. Non signalé antérieurement du Népal.

Cochlochila holzschuhi Štusák

Cochlochila conchata PÉRICART, 1985, Entom. Basil. 10:56.

Cochlochila conchata PÉRICART, 1985, Nouv. Rev. Ent. (N.S.) 2(2):173 et Fig. 3.

Cochlochila holzschuhi ŠTUSÁK, 1989, Reichenbachia 27(3):14.

W-Népal: Myagdi distr., Dhawalagiri, Hille-Ghorepani, alt. 1600-2600 m, 10.VI.1986, 1 ex., C. Holzschuh; Modi Khola, Pothana Landrung, alt. 1600-1900 m, 7.V.1984, 1 ex., C. J. Rai.

Connue seulement du Népal. La série-type, préservée à Prague dans la collection Štusák, a été également collectée par Holzschuh dans la première localité citée ci-dessus.

Copium teucarii subsp. **arabicum** Péricart

Copium teucarii arabicum PÉRICART, 1979, Fauna Saudi Arabia 1:106.

Arabie saoudite: SahAbu, Rimth, 23-25.IV.1981, 1 ♀, W. Büttiker.
 Connu de la région de Riyadh (série-type).

Cromerus kalshoveni Drake

Cromerus kalshoveni DRAKE, 1926, Treubia 8(3-4):334.

Sabah: Mt Kinabalu, alt. 2600 m, 1.V.1987, 1 ex., D. Burckhardt et I. Löbl.

Connu de Java et des Philippines.

Nota: il se peut que cette espèce soit synonyme de *Perissonemia bimaculta* (Distant), décrite de Bornéo, en tout état de cause à transférer au genre *Cromerus*; toutefois je n'ai pas comparé les types.

Cysteochoila delineata (Distant)

Bredenbachius delineatus DISTANT, 1909, Annl. Soc. ent. Belg. 53:199.

Cysteochoila delineata DRAKE, 1933, J. Bombay nat. Hist. Soc. 36(4):1015.

Népal: Meghauly, Chitwan natl Park, 7.IV.1986, 2 ex., H. Brailovsky. E-Népal: Arun V., Arun R., Tumlingstar, alt 450 m, 26.V.1983, 3 ex., M. Brancucci.

Cysteochoila malaisaei Drake & Ruhoff

Figs 1-3.

Cysteochoila malaisaei DRAKE & RUHOFF, 1962, Bull. South Calif. Acad. Sci. 60(3):158.

Habitus: Fig. 1; profil de l'avant-corps: Fig. 2; face ventrale de l'avant-corps: Fig. 3.

Vietnam: Vien-Phu, Tam Dao, alt. 1200 m, 8.IV.1978, 12 ex., M. Josifov.

Connue auparavant de Birmanie.

Dulinius conchatus Distant

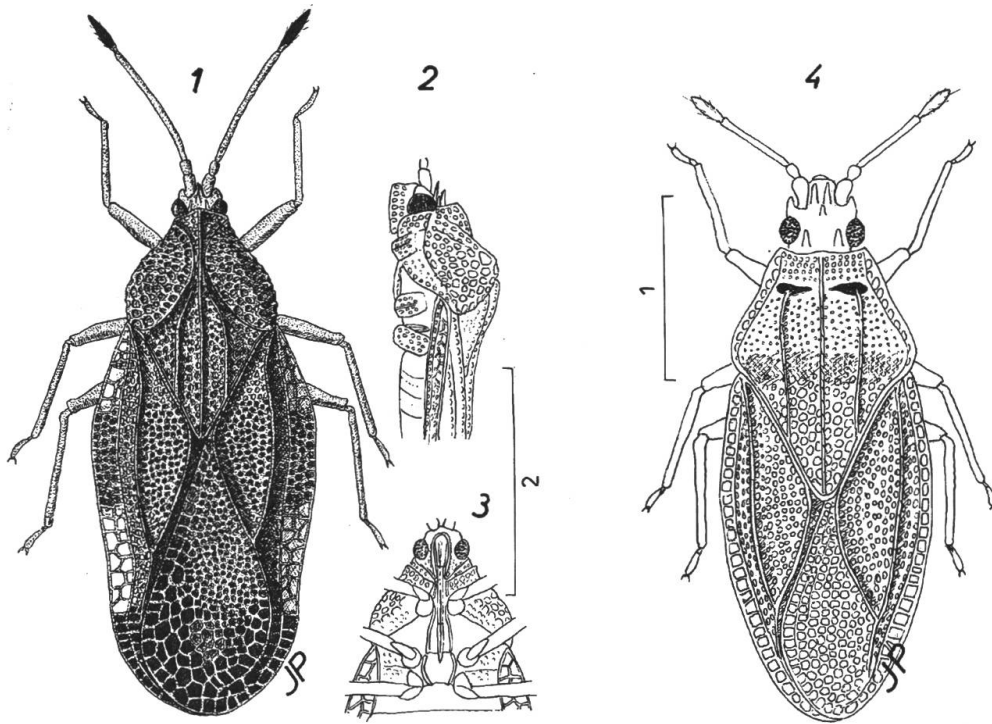
Dulinius conchatus DISTANT, 1903, Annl. Soc. ent. Belg. 47:48.

Thaïlande: Prov. Chiang-Mai, Khao Yai natl Park, c. 750 m «Headquarters», 30.XI.1985, 1 ex., D. Burckhardt et I. Löbl.

Répandu en Indo-Malaisie.

Euaulana ferritincta Drake

Euaulana ferritincta DRAKE, 1945, Bull. South Calif. Acad. Sci. 44(3):96.



Figs 1-4: 1-3: *Cysteochila malaisaei* Drake & Ruhoff: 1, habitus d'une ♀ du Vietnam. 2, profil de l'avant-corps. 3, face ventrale de l'avant-corps. 4, *Eaulana ferritincta* Drake, habitus d'un ♂. Echelles en mm. Original.

Habitus: Fig. 4.

Australie (NSW): Shire of Eurobodalla, Burrewarra Point Reserve, 18.XII.1986, 2 ex., D. Burckhardt.

Connu d'Australie (Queensland, Victoria) et de Tasmanie.

***Engynoma tasmaniae* (Drake & Poor)**

Perissonemia tasmaniae DRAKE & POOR, 1937, Iowa State Coll. J. Sci. 11(4):402.

Engynoma tasmaniae DRAKE, 1942, J. Wash Acad. Sci. 32(12):362.

Tasmanie: Marion Bay, W-Copping, 13.XII.1986, 3 ex., D. Burckhardt.

***Eritingis trivirgata* (Horváth)**

Tingis trivirgata HORVÁTH, 1925, Ark. Zool. 17A(24):6.

Eritingis trivirgata DRAKE & RUHOFF, 1962, Studi ent. 5(1-4):497.

Tasmanie: Hospital Creek, N-Copping, 13.XII.1986, 2 ex., D. Burckhardt.
 Connu d'Australie: Queensland.

Froggattia olivina Froggatt

Froggattia olivina FROGGATT, 1901, Agric. Gaz. New South Wales. 12:1601,
 Fig. 14.

Australie (NSW): Shire of Eurobodalla, bay between Rosedale and Guarella Bay, 18.XII.1986, 1 ex., D. Burckhardt.
 Commun en Australie: NSW, Queensland; Tasmanie.

Haedus pictus (Distant)

Hormidas pictus DISTANT, 1910, Philip. J. Sci. 5(1):60.
Haedus pictus DRAKE, 1953, Gt Basin Nat. 13(3-4):93.

Thailande: Prov. Phatchaburi, Kaeng Krachan natl Park, alt. 300-400 m, 25-30 km «Headquarters», X.1985, 9 ex., D. Burckhardt et I. Löbl.

Ildefonsus provorsus Distant

Ildefonsus provorsus DISTANT, 1910, Fauna Brit. India. 5:110.

Inde (Himachal Pradesh): 10 km N-O Sarahan (N-O Nahar), alt. 1700 m, souches mortes de *Quercus* (écorces + Polypores), 7.X.1988, 2 ex., S. Vit.
 Espèce montagnarde connue de l'Inde et du Népal.

Inoma multispinosa Hacker

Inoma multispinosa HACKER, 1927, Mem. Qd. Mus. 9(1):25.

Australie (Victoria): Steels Creek, 37°35'S, 145°23'E, 29.XI.1986, 2 ex., D. Burckhardt.
 Décrite du Queensland.

Paracopium cingalense (Walker)

Dictyonota cingalensis WALKER, 1873, Cat. Hem. Het. Brit. Mus. 6:178.
Paracopium cingalense DISTANT, 1903, Faun. Brit. India, Rhynch. 2:128.

Inde: Agra 2.IV.1986, 1 ex., H. Brailovsky.
 Connu de Sri-Lanka et d'Inde.

Parada darlingtoni Drake

Parada darlingtoni DRAKE, 1952, Psyche 59(4):143.

Australie (NSW): Clyde Mts, rd Canberra, to Batemans Bay, 17-20.XII.1986, 9 ex., D. Burckhardt.
 Décrite d'Australie (Queensland).

Penottus hauseri Péricart

Penottus hauseri PÉRICART, 1986, Revue suisse Zool. 93(3):654.

Sabah: Kimanis Road, mile 16, 14.V.1982, 7 ad.+ 3 larves, D. Burckhardt; id., Heliplatz, alt. 1380-1400 m, 12.V.1982, 1 ex., D. Burckhardt; Poring Hot Springs, alt. 500 m, 8.V.1987, 1 ex., D. Burckhardt et I. Löbl; id., 6.V.1987, 1 ex., D. Burckhardt et I. Löbl; id., alt. 600 m, nr Bat Cave, 10.V.1987, 1 ex., D. Burckhardt et I. Löbl.
Décrit de Sabah.

Penottus monticollis (Walker)

Monanthia monticollis WALKER, 1873, Cat. Hem. Het. Brit. Mus. 6:196.
Penottus monticollis DRAKE & RUHOFF, 1960, Proc. U.S. Nat. Mus. 112:75.

Sabah: Poring Hot Springs, alt. 500 m, 8.V.1987, 1 ex., D. Burckhardt et I. Löbl.
Grandes Iles de la Sonde, Malaisie, Philippines.

Penottus oresbius Drake & Ruhoff

Penottus oresbius DRAKE & RUHOFF, 1961, Proc. U.S. Nat. Mus. 113, n.º 3455:178.

Sabah: Sepilok, mile 15 from Sandakan, Sepilok Forest, lowland dipterocarp forest, 22.IV.1982, 1 ex., D. Burckhardt.
Grandes Iles de la Sonde et Malaisie.

Perissonemia borneensis (Distant)

Teleonemia borneensis DISTANT, 1909, Rec. Indian Mus. 3(2), 2:166.
Perissonemia borneensis DRAKE, 1960, Pacif. Ins., 2(3):356.

Sabah: Poring Hot Springs, alt. 500 m, 8.V.1987, 1 ♂, D. Burckhardt et I. Löbl.
Bornéo, Singapour, Chine, Philippines, Nouvelle-Guinée.

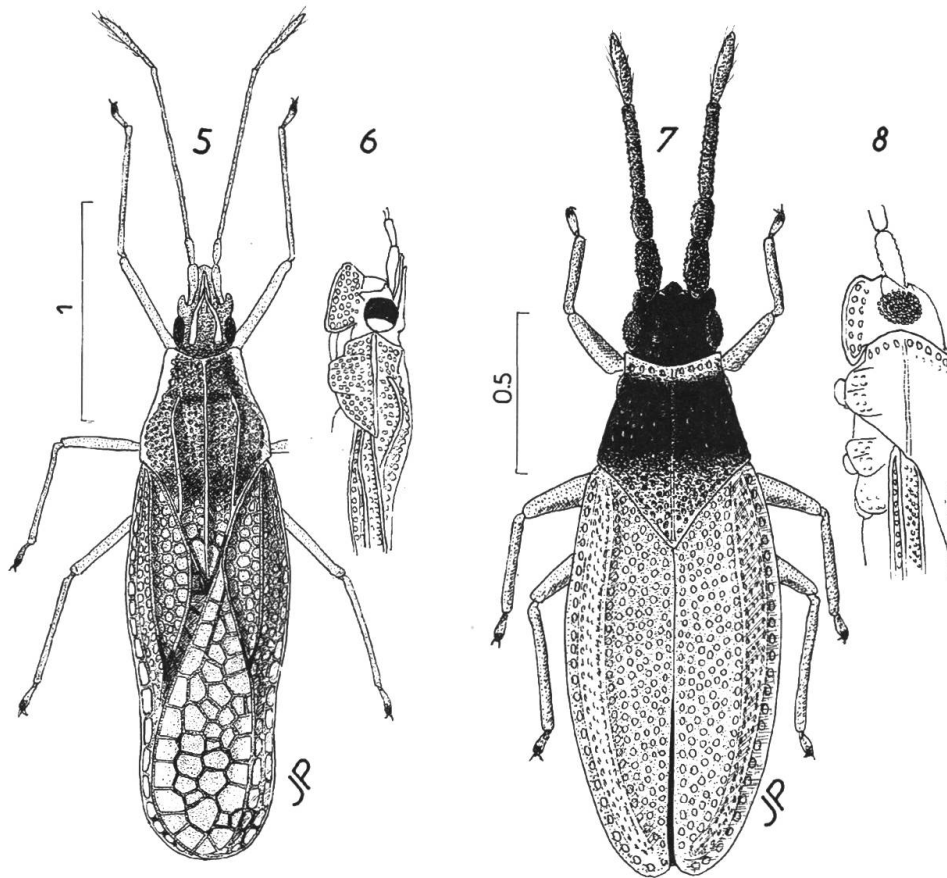
Perissonemia cicadifrons Péricart

Perissonemia cicadifrons PÉRICART, 1986, Ent. Basil. 10:37.

Népal: Meghauly, Chitwan natl Park, 7.IV.1986, 1 ♀, H. Brailovsky.
Décrite de Bhutan.

Physatocheila similis Péricart

Physatocheila similis PÉRICART, 1985, Ent. Basil. 10:41.



Figs 5-8: 5, *Abdastartus smetanai* n.sp., holotype ♀ du Sabah, habitus. 6, id., profil de l'avant-corps. 7, *Agramma viti* n.sp., holotype ♂ de l'Himachal Pradesh, habitus. 8, id., profil de l'avant-corps. Echelles en mm. Original.

Thaïlande: Prov. Chiang Mai, Doi Inthanon, alt. 1720 m, 7.XI.1985, 2 ex., I. Löbl. et D. Burckhardt.

Décrite de l'Inde (Uttar Pradesh) et du Bhutan.

***Physatocheila uniseriata* Hacker**

Physatocheila uniseriata HACKER, 1929, Mem. Qd. Mus. 9(3):327.

Australie (NSW): Act., Tidbinbilla natl. reserve, alt. 800-900 m, 21.XI.1986, 1 ex., D. Burckhardt.

Australie Sud et Ouest; Queensland.

***Pseudurentius borneensis* (Péricart)**

Trachypeplus borneensis PÉRICART, 1986, Rev. suisse Zool. 93(3):652.
Transféré au genre nouveau *Pseudurentius*: cf p. 77.

Sabah: Sepilok, Wald bei Pond, secondary lowland forest, 23.IV.1982, 2 ex., D. Burckhardt.
 Décrit de Sabah.

Recaredus rex Distant

Recaredus rex DISTANT, 1909, Anns. Soc. ent. Belg. 53:361.

Inde: Avrangabal, 24.III.1986, 1 ex., H. Brailovsky.
 Répandu en Inde.

Stephanitis (Norba) othnius Drake & Ruhoff

Stephanitis (Norba) othnius, DRAKE & RUHOFF, 1965, Pacif. Insects 7(2):276.

Sabah: Crocker Ra., alt. 1350 m, km 60 Kota-Kinabalu-Tambunan, 17.V.1987, 2 ex., D. Burckhardt et I. Löbl.
 Décrit du Nord de Bornéo.

II. Nouveaux taxa

Abdastartus smetanai n.sp.

Figs 5-6.

La description ci-après est effectuée d'après une ♀ unique de l'île de Bornéo, holotype.

Habitus (Fig. 5)¹; profil de l'avant-corps (Fig. 6).

Étroit, allongé, subglabre. Coloration générale brunâtre, pattes et antennes incluses; réseau dorsal grisâtre à veinules brun clair à brun sombre.

Tête brune, portant 4 longs processus spiniformes blanchâtres, appliqués, les 2 occipitaux 2 fois aussi longs que 1^e et 2^e article antennaire, les 2 frontaux presque de moitié plus courts, atteignant en avant le niveau du bord antérieur des buccules. Tubercules antennifères, vus de dessus, brefs, arqués en forme de bec d'aigle. Antennes élancées, 1^{er} article relativement long, atteignant le niveau du bord antérieur des buccules; 2^e article presque de moitié plus court, 3^e article 1.15 fois aussi long que la largeur basale du pronotum, et 2 fois aussi long que le 4^e, qui est en fuseau étroit et allongé. Buccules hautes, proéminentes en avant, avec 4-5 rangées de petites aréoles. Tempes démunies de plaques post-oculaires. Rostre relativement court, ne dépassant pas le milieu du mésosternum.

1. Le spécimen, probablement incomplètement mature, présente des yeux traumatiquement déprimés, et sa tête est anormalement exsertie du col du prothorax; ces déformations ont été corrigées sur le dessin d'habitus en se référant aux espèces voisines du genre *Abdastartus*.

Pronotum brunâtre, 1.6 fois aussi long suivant son axe médian que large à la base; pas d'ampoule antérieure mais une collerette formée de 4 rangées de petites cellules rectangulaires. Lames marginales blanchâtres, assez étroites, unisériées, nettement élargies antérieurement, et légèrement élargies aux angles postérieurs. Disque modérément convexe, ponctué. Carènes médiane et latérales lamellaires, unisériées, modérément élevées. Processus postérieur triangulaire, aréolé, les cellules de sa partie apicale grandes, polygonales.

Hémélytres pris ensemble 2.35 fois aussi longs que larges, subplans, avec seulement le point de confluence des nervures (R+M) et Cu un peu élevé et assombri. Lames costales unisériées, s'élargissant de l'épaule jusqu'au calus antéapical, pourvues d'une seule rangée d'aréoles rectangulaires, qui sont très allongées sur la moitié postérieure. Aires subcostales bisériées sur les 2/3 antérieurs et unisériées en arrière. Aires discoïdales comptant 3 rangées d'aréoles plus ou moins rectangulaires à l'endroit de leur plus grande largeur. Aires suturales amples, dépassant très largement l'apex de l'abdomen; réseau formé entièrement de grandes cellules polygonales, veinules des cellules en partie brun noir et en partie brun clair; mailles grisâtres, sauf vers les bords internes et externes et vers la région apicale où elles sont éclaircies.

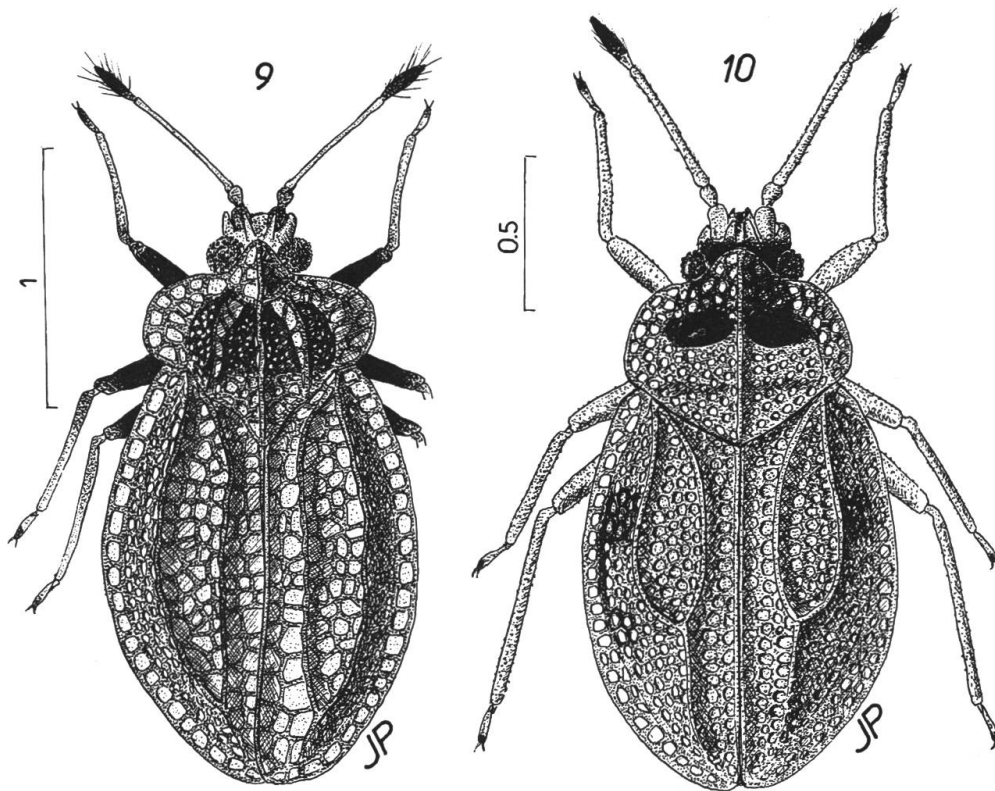
Pattes graciles; profémurs, protibias et métatibias subégaux en longueur et à peu près aussi longs que la largeur basale du pronotum.

Gouttières odorifères petites mais bien visibles. Lames mésosternales sensiblement parallèles; lames métasternales plus rapprochées, un peu convergentes en arrière; sillon rostral non prolongé sur l'abdomen. Sternites nullement sillonnés transversalement. Une petite ovi-valvule à la base de l'ovipositeur.

Holotype (en mm). Long: tête 0.31; pronotum (médiane) 0.97; hémélytres 1.83; antennes (articles): (I)0.20- (II)0.11- (III)0.72- (IV)0.36; protibias et profémurs 0.60; longueur totale du bord antérieur des buccules à l'apex des hémélytres 2.70. Large: diatone ? (yeux collapsés), distance interoculaire 0.16; pronotum (à sa base) 0.62; hémélytres (ensemble) 0.77.

Abdastartus longulus Drake, 1953, décrit de l'Inde, et dont j'ai vu le Type à l'USNM, est beaucoup plus allongé, avec des antennes encore plus longues, à 4e article aussi long que les 2/3 du 3e; ses hémélytres sont plus sinués en arrière du milieu, et sont élargis et divergents postérieurement ce qui n'est pas le cas pour *A. smetanai*.

Chez *A. sacchari* Drake, 1927, connu de Java et Taïwan, et dont j'ai



Figs 9-10: 9, *Acalypta viti* n.sp., holotype ♀ de l'Himachal Pradesh, habitus. 10, *Acalypta detrita* n.sp., holotype ♂ de l'Himachal Pradesh, habitus. Echelles en mm.

vu également le Type, les longueurs et proportions antennaires sont peu différentes de celles d'*A. smetanai*; les tubercules antennifères ne sont pas recourbés en bec d'aigle, les lames marginales du pronotum sont plus étroites et de largeur constante de la base au sommet; la coloration générale est plus sombre.

Chez *A. atrus* Motschulsky, 1863, de Sri-Lanka, le 4^e article antennaire est aussi long que les 2/3 du 3^e, les lames marginales du pronotum sont quasiment réduites à des carènes, la coloration générale est plus sombre, les cellules des lames costales des hémélytres alternativement claires et sombres.

Holotype: Sabah (Nord-Bornéo), Kinabalu National Park, Poring Hot Springs, alt. 510 m, 13.V.1987, A. Smetana (coll. Péricart).

Je remercie le Dr. A. Smetana, à qui je dédie cette espèce, de m'avoir fait don de l'holotype.

***Acalypta detrita* n.sp.**

Figs 10, 15.

La description qui suit est effectuée d'après 8 spécimens brachyptères, soit 7 ♂ dont l'holotype et 1 ♀ allotype.

Habitus (Fig. 10); profil de l'avant-corps (Fig. 15).

Corps brun noir. Régions réticulées du dessus brunâtres avec parfois des zones plus sombres çà et là sur les hémélytres. Epines de la tête, tubercules antennifères, buccules et lames sternales jaune brunâtre. Antennes jaune brunâtre, à 4e article noir au moins en partie. Pattes jaune brunâtre.

Tête sombre. Front 1.0-1.3 fois aussi large que les yeux vus de dessus, ceux-ci saillants. Epines frontales assez aiguës, dirigées vers l'avant, aussi longues que le 1e et 2e article antennaire. Antennes 0.4-0.45 fois aussi longues que le corps; 3e article 1.05-1.25 fois aussi long que le diatone et 2.0-2.4 fois aussi long que le 4e. Rostre brunâtre, atteignant le bord postérieur du métasternum.

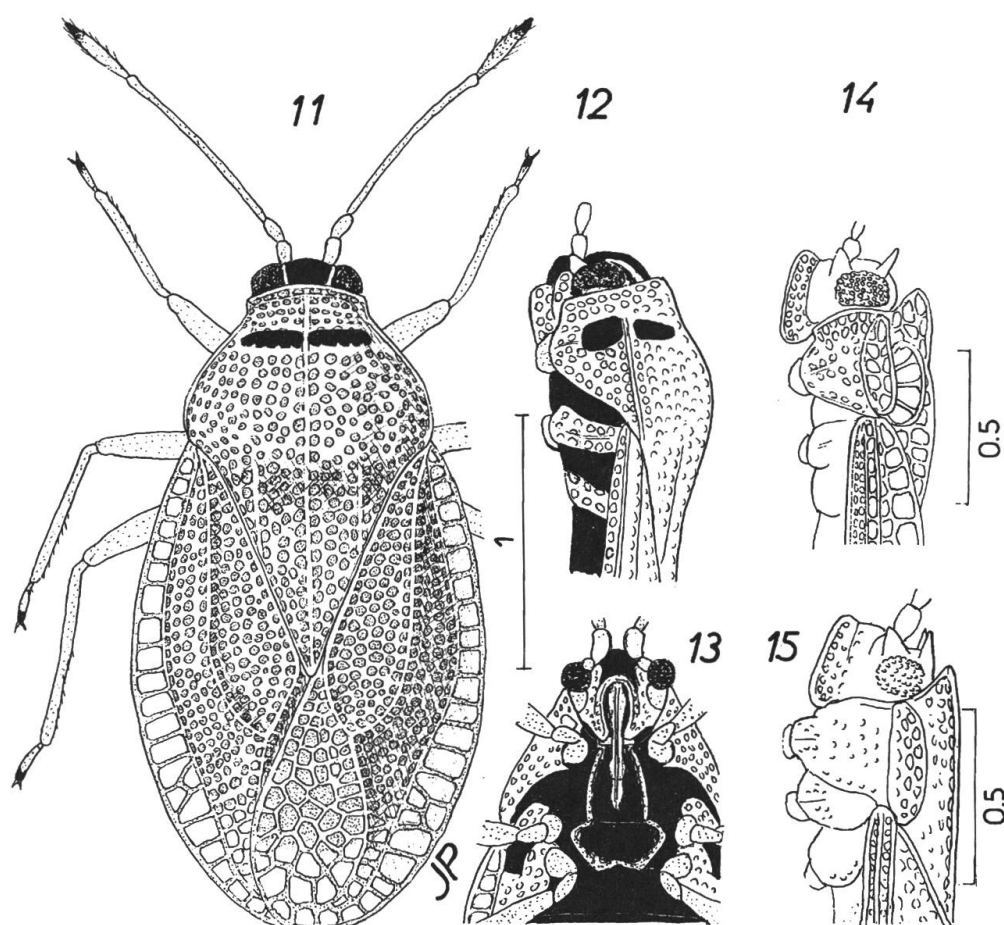
Pronotum, processus postérieur inclus, 0.8-0.9 fois aussi long que large. Ampoule tectiforme, s'avancant au-dessus de la tête presque jusqu'au niveau du bord antérieur des yeux. Lames marginales un peu relevées, bisériées, rarement en partie trisériées, angles antérieurs arrondis, nullement saillants. Carène médiane longitudinale saillante, mais à peine lamelliforme, unisériée; pas de carènes latérales. Callosités largement noirâtres, lisses, brillantes, le reste du disque aréolé. Processus postérieur triangulaire, aréolé, à angle postérieur très obtus.

Hémélytres pris ensemble 1.15-1.30 fois aussi longs que larges, dépassant un peu l'abdomen. Lames costales unisériées sauf en avant et dans le sinus antéapical où les cellules se dédoublent. Aires subcostales déclives, portant 3-4 rangées d'aréoles le long des aires discoïdales, 4-6 en arrière. Aires discoïdales présentant 4-5 rangées de cellules (♂) ou 6 rangées (♀) à l'endroit de leur plus grande largeur. Aires suturales bisériées le long des aires discoïdales, trisériées ou quadrisériées en arrière. Bords suturaux contigus. Nervure postérieure parallèle au bord sutural.

Long: 1.84-2.05 mm; large (hémélytres) 1.06-1.20 mm.

Holotype (en mm). Long: tête (partie visible, au centre) 0.10; pronotum 0.45; hémélytres 1.37; antennes (articles): (I)0.10- (II)0.08- (III)0.48- (IV)0.23; profémurs 0.50; protibias 0.52; métatibias 0.63; longueur totale du corps, du bord antérieur du clypeus à l'apex hémélytral: 1.92. Large: diatone 0.41; front entre les yeux 0.15; pronotum 0.-79; hémélytres (ensemble) 1.10.

Acalypta detrita est très voisine d'*A. swatensis* Péricart, 1985. Cette



Figs 11-15: 11-13, *Compeseuta yemeni* n.sp.: 11, holotype ♀ du Yemen, habitus. 12, id., profil de l'avant-corps. 13, id., face ventrale de l'avant-corps. 14, *Acalypta viti* n.sp., holotype ♀, profil de l'avant-corps. 15, id., pour *Acalypta detrita* n.sp., holotype ♂. Echelles en mm. Original.

dernière en diffère par les caractères suivants: taille moyenne sensiblement plus grande: 2,10-2,50 mm; lames marginales et costales plus larges, les premières souvent en partie trisériées, les secondes généralement bisériées/trisériées; aires subcostales un peu plus hautes et plus déclives, ce qui donne aux insectes un aspect un peu moins déprimé; coloration dorsale toujours mouchetée d'assez nombreuses macules noires.

La série-type provient d'Inde, province d'Himachal Pradesh, leg. S. Vit. L'holotype (♂) et 2 paratypes (♂) ont été collectés dans la Kulu Valley, Chijoga (S-Manali), alt. 1900 m, ravin humide et galeries de rongeurs, 14.X.1988. L'allotype (♀) a été collecté à Simla, Jakoo Hill, versant N, alt. 2200 m, dépôt de feuilles mortes,

10.X.1988. Quatre paratypes (♂) ont été collectés dans Mashobra Forest, 10 km NE Simla, atl. 2100 m, 30.X.1988, dans le pied creux d'un Quercus, dans la litière, les écorces pourries avec polypores, etc; un dernier paratype (♂) a été collecté à Kalatope Sanct., E-Dalhousie, alt. 2400 m, litière de fougères au pied d'un rocher et pied creux de Taxus, 22.X.1988.

Holotype, allotype, et 4 paratypes (Musée d'Histoire Naturelle de Genève), 4 paratypes (♂) (coll. Péricart).

***Acalypta viti* n.sp.**

Figs 9, 14.

La description qui suit est effectuée d'après une ♀ unique brachypère, holotype.

Habitus (Fig. 9); profil de l'avant-corps (Fig. 14).

Ovale, corps brunâtre, tête noire ainsi que le disque du pronotum. Régions réticulées du dessus à veinules brun sombre et mailles grisâtres. Antennes brunes, 4e article noir dans sa moitié apicale; fémurs brun très sombre, tibia bruns, graduellement plus clairs dans leur moitié apicale; tarsi brun clair, assombris à l'apex.

Front 1.4 fois aussi large que les yeux vus dessus, ceux-ci saillants. Epines frontales robustes, coniques, mi-dressées vers l'avant. Antennes courtes, 1er et 2e articles assez globuleux, le 2e plus petit que le 1er et rétréci à la base; 3e article très mince, renflé à sa jointure avec le précédent, 1.2 fois aussi long que le diatone et 2.7 fois aussi long que le 4e, qui est fusiforme et porte de longues soies semi-dressées. Buccules un peu saillantes en avant du clypeus. Rostre atteignant le bord postérieur du métasternum.

Pronotum, processus postérieur inclus, 0.9 fois aussi long que large. Ampoule tectiforme, s'avancant presque jusqu'au niveau du bord antérieur des yeux. Lames marginales portant 2 rangées de grandes aréoles polygonales. Carène médiane longitudinale lamellaire, avec une rangée de grandes cellules rectangulaires; carènes latérales bien développées, lamellaires et unisériées comme la médiane. Disque ponctué, assez brillant. Processus postérieur triangulaire, aréolé, à bords sensiblement bisinués au niveau des carènes latérales.

Hémélytres, pris ensemble, 1.30 fois aussi longs que larges, avec la plus grande largeur au milieu, dépassant peu l'abdomen; bords suturaux contigus, avec un léger recouvrement à l'apex. Lames hypocostales (voir de profil) portant 2 rangées de petites aréoles circulaires, particularité assez rare chez les *Acalypta*, où elles sont généralement unisériées. Lames costales portant une seule rangée de grandes cellules rectangulaires. Aires subcostales déclives, avec 4 rangées d'aréoles polygonales, les cellules de

la première rangée, sous la nervure (R+M), très grandes, celles des rangées en-dessous de taille décroissante du haut vers le bas. Nervures (R+M) et Cu très saillantes. Aires discoïdales atteignant presque l'extrémité hémélytrale, portant 4 rangées de grandes aréoles polygonales à l'endroit de leur plus grande largeur. Aires suturales bisériées, sauf vers l'apex où elles s'élargissent légèrement et présentent 3 cellules dans le sens transversal.

Mensurations de l'holotype (en mm). Long: tête (en avant de l'ampoule du pronotum) 0.13; pronotum 0.75; hémélytres 1.50; antennes (articles): (I)0.10- (II)0.07- (III)0.46- (IV)0.17; profémurs 0.40; protibias 0.44; métatibias 0.58. Longueur totale du corps, du bord antérieur des buccules à l'apex hémélytral: 2.05. Large: diatone 0.38; front entre les yeux 0.15; pronotum 0.83; hémélytres (ensemble): 1.12.

Cette *Acalypta* appartient au groupe d'*A. parvula*, caractérisé, selon ma monographie (PÉRICART, 1983), par son pronotum tricaréné, à angles antérieurs non projetés en avant, ses antennes à 3e article grêle mais renflé à sa naissance surtout chez les ♀. Elle diffère des autres espèces de ce groupe par ses lames hypocostales bisériées. L'espèce la plus proche me semble *A. gracilis* (f. brachyptère), dont le 4e article antennaire porte aussi de longues soies hérissées, et dont les carènes et le réseau dorsal sont assez semblables; cependant chez *A. gracilis* les aires discoïdales sont plus étroites, seulement trisériées, et la forme générale est moins large.

Holotype: Inde: Himachal Pradesh, Kulu Valley, Vashists Baths (N.-Manali), alt. 1900 m, 13.X.1988, souche pourrie (*Populus?*). S. Vit (Musée d'Histoire Naturelle de Genève).

Agramma viti n.sp.

Figs 7, 8.

La description qui suit est effectuée d'après 15 spécimens brachyptères, soit 6 ♂ dont l'holotype et 9 ♀ dont l'allotype.

Habitus (Fig. 7); profil de l'avant-corps (Fig. 8).

Ovale allongé, subdéprimé. Corps noir, pronotum noir à collerette antérieure et processus postérieur éclaircis, hémélytres jaune grisâtre ou brunâtre clair. Antennes noires dans leur moitié basale, brunâtre sombre dans leur moitié apicale; pattes jaunâtres à dernier article tarsal rembruni à son extrémité.

Tête noire. Front peu convexe en-dessus, 3-4 fois aussi large que les yeux vus de dessus. Epines frontales extrêmement petites, éclaircies apicalement. Antennes couvertes sur leurs 3 premiers articles de villosités assez grossières; 1er et 2e articles robustes, le 1er 0.8 fois aussi

long que la distance interoculaire, le 2e un peu plus court et un peu moins épais, le 3e plus mince, cylindrique, 0.9-1.0 fois (♂) ou 0.75-0.85 fois (♀) aussi long que le diatone et 1.3-1.6 fois aussi long que le dernier, qui est fusiforme. Buccules jaunâtres, non saillantes en avant, portant 2 rangées d'aréoles. Rostre dépassant peu le bord postérieur du prosternum.

Pronotum, processus postérieur inclus, 1.15-1.30 fois aussi long que large, subplan en-dessus. Collerette pourvue de 2 rangées de petites aréoles. Carène longitudinale peu marquée; carènes marginales visibles de profil sur toute la longueur. Processus postérieur en triangle bref, finement aréolé.

Hémélytres pris ensemble 1.75-1.90 fois aussi longs que larges, présentant leur plus grande largeur vers le milieu, souvent légèrement déhiscent sur la moitié postérieure de leur suture, dépassant à peine l'abdomen. Lames costales assez étroite, unisériées. Aires subcostales portant 4 rangées de petites aréoles serrées, assez déclives, clairement délimitées du disque par une nervure longitudinale. Aires discoïdales non distinctes des aires suturales, portant 6-7 rangées d'aréoles à l'endroit de leur plus grande largeur. Sillon rostral étroit. Pattes assez robustes.

Long: 1.65-1.80 mm (♂) ou 1.80-1.95 mm (♀).

Holotype (en mm). Long: tête 0.25; pronotum (processus postérieur inclus) 0.58; hémélytres 1.23; antennes (articles): (I)0.17- (II)0.12- (III)0.29- (IV)0.21; profémurs 0.29; protibias 0.26; métatibias 0.33; longueur totale, du bord antérieur du clypeus à l'apex des hémélytres: 1.80. Large: diatone 0.31; front entre les yeux 0.18; pronotum 0.48; hémélytres (ensemble) 0.67.

Agramma viti n.sp. se rapproche, dans la faune eurasiatique, d'*A. blandulum* Horváth 1905, espèce pontique répandue jusqu'en Kazakhstan. *Agramma blandulum* (forme brachyptère) diffère d'*A. viti*, outre sa taille un peu plus petite, par la coloration franchement jaune blanchâtre des hémélytres et de la partie éclaircie du processus postérieur du pronotum, cette dernière restreinte strictement à la zone apicale et clairement délimitée de la partie noirâtre. En outre et surtout, chez *A. blandulum* les aires subcostales ne sont pas délimitées de la région discoïdale.

La série-type d'*Agramma viti* a été collectée en Inde septentrionale, province d'Himachal Pradesh, Kulu Valley, S. Vit. L'holotype (♂), l'allotype (♀) et 4 paratypes (1♂, 3♀), proviennent de Chijoga (S-Manali), alt. 1900 m, souche pourrie de résineux, 12.X.1988. Quatre paratypes (2♂, 2♀) proviennent de Chijoga (S-Manali), atl. 1800 m, ravin humide

et galeries de rongeurs, 14.X.1988. Deux paratypes (♀) proviennent de Vashist Baths (N-Manali), alt. 1900 m, pied pourri de *Quercus*, 13.X.1988. Trois paratypes (2♂, 1♀) proviennent des berges de Beas River, alt. 1900 m, litière de fougère, 13.X.1988.

Holotype, allotype et 9 paratypes (Musée d'Histoire Naturelle de Genève), 4 paratypes, 2♂, 2♀ (coll. Péricart).

Je dédie ce nouvel *Agramma* à son collecteur, Dr. S. Vit.

Compseuta yemeni n.sp.

Figs 11-13.

La description qui suit est effectuée d'après une ♀ unique, holotype.

Habitus (Fig. 11); profil de l'avant-corps (Fig. 12); dessous de l'avant-corps (Fig. 13).

Ovale, subglabre. Corps noir; pronotum, hémélytres, buccules et régions aréolées du dessous jaune blanchâtre; antennes et pattes jaunâtres à extrémités assombries.

Tête noire, enchassée dans le col du prothorax jusqu'au bord postérieur des yeux. Front 2 fois aussi large que les yeux vus de dessus. Processus occipitaux blanc jaunâtre, digitiformes, parallèles, appliqués. Pas de processus frontaux. Antennes aussi longues que la moitié du corps; 1er article à peine plus long que le 2e, mais plus épais; 3e article 1.6 fois aussi long que le diatone et 2.2 fois aussi long que le 4e qui est fusiforme. Clypeus vu de profil dépassant les buccules en avant, celles-ci peu élevées, avec 2 rangées d'aréoles. Tempes portant une grande plaque post-oculaire claire, normalement cachée par le col du prothorax. Rostre atteignant à peine le bord postérieur du mésosternum.

Pronotum 1.55 fois aussi long que large. Pas d'ampoule antérieure, celle-ci remplacée par une collerette mal délimitée, d'une seule rangée d'aréoles. Callosités antérieures noires, brillantes; tout le reste du pronotum uniformément clair et aréolé. Lames marginales réduites à de simples carènes. Disque un peu convexe; processus postérieur triangulaire. Carène médiane longitudinale costiforme, à peine marquée; carènes latérales parallèles, à peine marquées sur le processus postérieur et complètement effacées sur le disque.

Hémélytres pris ensemble 1.55 fois aussi long que larges, nervures costiformes, peu saillantes. Lames costales assez larges, avec une seule rangée d'aréoles rectangulaires, dont une ou deux sont dédoublées dans le sinus antéapical. Aires subcostales larges, portant 3-4 rangées régulières d'aréoles le long des aires discoïdales. Aires discoïdales portant 6 rangées d'aréoles régulières à l'endroit de leur plus grande largeur. Aires suturales se recouvrant complètement, portant des cellules

polygonales, plus grandes en arrière; on compte 4-5 cellules transversalement à la partie la plus ample.

Pattes assez robustes. Mésocoxae très écartées; métacoxae très écartées. Lames mésosternales divergentes d'avant en arrière; lames métasternales très écartés, fortement convergentes d'avant en arrière, métasternum très large; sillon rostral fermé en arrière. Gouttières odorifères invisibles.

Mensurations (en mm). Long: tête 0.10; pronotum (processus postérieur inclus) 1.15; hémélytres 1.90; antennes (articles): (I)0.14- (II)0.11- (III)0.73- (IV)0.33; profémurs 0.52; protibias 0.56; métatibias 0.73. Longueur totale du corps, du bord antérieur du clypeus à l'apex des hémélytres 2.70. Large: diatone 0.46; front entre les yeux 0.23; pronotum 1.00; hémélytres (ensemble) 1.20.

La coloration entièrement claire du pronotum (sauf les callosités), les carènes latérales du pronotum effacées sur le disque, la carène médiane vestigiale, les lames costales unisériées mais assez larges, éloignent cette espèce de la plupart des autres *Compseuta*. L'espèce la moins éloignée de *C.yemeni* semble *C.lefroyi* Distant, (1909), répandue en Asie tropicale; chez *C.lefroyi* les carènes latérales du pronotum sont prolongées sur le disque bien que peu saillantes, et surtout les aires subcostales des hémélytres sont bisériées et beaucoup plus étroites que celles de *C.yemeni*.

Holotype: Nord-Yemen: Manakhah, 25.II-4.III.1989, E. Heiss (coll. Péricart).

Je remercie mon ami Ing. E. Heiss de m'avoir adressé et abandonné ce spécimen.

Hebetingis crux n.sp.

Figs 18, 20, 23.

La description qui suit est effectuée d'après une ♀ unique macroptère.

Habitus (Fig. 18); profil de l'avant-corps (Fig. 20); face ventrale de l'avant-corps (Fig. 23).

Relativement large, subglabre. Corps brun noir, pronotum brun, hémélytres clairs avec des zone sombres qui forment un dessin cruciforme incomplet. Antennes et pattes jaune brunâtre à extrémités noivrâtres.

Tête brun noir en-dessus. Front 2.4 fois aussi large que les yeux vus de dessus. Processus céphaliques bien développés, appliqués, jaune brunâtre, les occipitiaux digitiformes, aussi longs que 1e 1er article antennaire, le médian 1.5 fois aussi long que le 2e article antennaire, acu-

miné et resserré en avant entre les deux antérieurs; ceux-ci convergents et contigus, de même forme et seulement un peu plus courts. Tubercules antennifères petits. Antennes assez élancées, 1er article presque 2 fois aussi long que le 2e, 3e article 2 fois aussi long que le 4e et 2 fois aussi long que le 4e, qui est à peine fusiforme, noir, éclairci à sa naissance. Buccules non proéminentes en avant. Rostre clair, noirci à l'apex, atteignant le bord postérieur du mésosternum.

Pronotum, processus postérieur inclus, 1.4 fois aussi long que large. Ampoule quasi-nulle, collerette antérieure brune, assez large, bien délimitée du disque, portant 4 rangées de petites aréoles. Lames marginales réduites chacune à une fine carène, seulement un peu explanée devant la collerette et devant les angles postérieurs. Callosités noires, brillantes. Disque brun, convexe, assez brillant, densément ponctué. Processus postérieur triangulaire, aréolé, brun avec l'apex éclairci. Carène médiane longitudinale réduite à une fine côte peu saillante; carènes latérales parallèles, costiformes comme la médiane, visibles sur le processus postérieur et complètement effacées sur le disque.

Hémélytres pris ensemble 1.6 fois aussi longs que larges, présentant leur plus grande largeur vers le tiers antérieur. Dessin transversal formé d'une zone très sombre vers le premier tiers des lames costales, se prolongeant en s'élargissant sur les aires suturales, puis continuant sur les aires discoïdales sous forme de deux zones brun sombre, l'une le long de la nervure Cu près de l'apex du processus postérieur du pronotum, l'autre sur la partie antéapicale; dessin longitudinal constitué d'une large tache noire plus ou moins triangulaire située sur la partie antérieure des aires subcostales mais n'en touchant pas les bords, et d'une bande transversale postérieure moins sombre et plus diffuse. Lames costales larges, portant 2-3 rangées de grandes aréoles polygonales, plus petites et plus arrondies sur la zone sombre. Aires subcostales peu déclives, présentant le long des aires discoïdales 4-5 rangées de petites cellules arrondies. Aires discoïdales avec un réseau de cellules identiques aux précédentes, formant 8-9 rangées dans la région la plus large. Aires suturales larges, se recouvrant presque entièrement, dépassant largement l'abdomen; réseau formé de cellules petites et plus ou moins arrondies sur la moitié antérieure et le long des aires subcostales, devenant progressivement de plus en plus grandes et polygonales vers la région postérieure et le long du bord externe; on compte 9-10 cellules transversalement à la partie la plus ample.

Pattes peu robustes; mésocoxae écartées, ainsi que les métacoxae. Sillon rostral très large, peu profond. Lames mésosternales distantes,

convergentes en avant; lames métasternales plus distantes, se recourbant l'une vers l'autre et se rejoignant en arrière en fermant le sillon rostral, et délimitant un métasternum presque quadrangulaire. Gouttières odorifères bien visibles. Une petite ovivalvule à la base de l'ovipositeur.

Holotype (en mm). Long: tête (jusqu'au bord postérieur des yeux) 0.24; pronotum (processus postérieur inclus) 1.65; hémélytres 2.85; antennes (articles): (I)0.22- (II)0.12- (III)1.04- (IV)0.54; profémurs 0.83; protibias 0.91; métatibias 1.10; longueur totale, de l'apex des processus frontaux au bord postérieur des hémélytres, 3.95. Large: diatone 0.53; front entre les yeux 0.29; pronotum 1.20; hémélytres (ensemble) 1.78.

Cette espèce rappelle par sa forme quelques *Eteoneus*, notamment *E. sigillatus* Drake & Poor 1936, dont elle diffère cependant notamment par ses épines céphaliques toutes bien développées et ses lames costales beaucoup plus larges. Elle diffère en outre de la plupart des autres *Eteoneus* par son corps glabre, ses yeux beaucoup plus petits, et l'absence d'épines aux angles postérieurs du pronotum. En attendant une remise en ordre de ce groupe, je rattache la nouvelle espèce au genre *Hebetingis* Drake 1960, dont l'espèce-type et unique espèce connue jusqu'à ce jour est *H. adeia* Drake 1960, décrit de la Nouvelle-Guinée. *Hebetingis adeia* diffère de *H. crux* par sa forme plus large, les lames marginales de son pronotum étroites, rabattues sur le disque mais non vestigiales, les carènes latérales bien visibles sur le disque, les lames costales de ses hémélytres plus larges, portant 6 rangées de cellules, ses aires subcostales très déclives, bisériées.

Holotype: Sabah (Nord-Bornéo), Mont Kinabalu, alt. 2600 m, 1.V.1987, Burckhardt & Löbl., réf. 10b T1 8740 (Musée d'Histoire Naturelle de Genève).

Kalama josifovi n.sp.

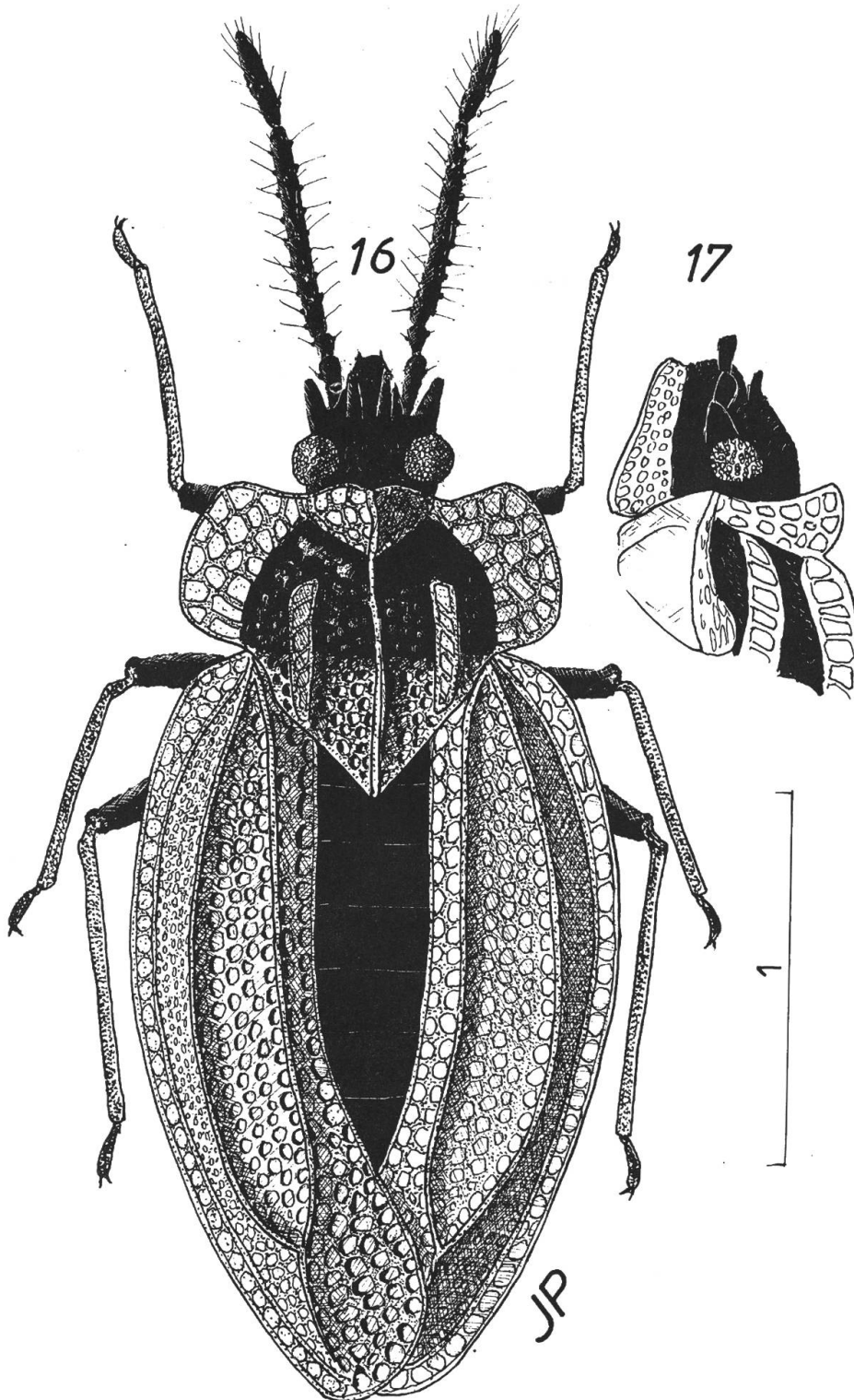
Figs 16-17.

La description ci-après est effectuée d'après 2 spécimens brachyptères, soit 1 ♂ (holotype) et 1 ♀ (allotype).

Habitus (Fig. 16); profil de l'avant-corps (Fig. 17).

Elliptique, corps et pattes subglabres. Réticulation dorsale fine et régulière. Tête noirâtre, corps brun sombre, pattes un peu plus claires, antennes brun noir.

Tête couverte en-dessus de micro-villosités; front 1.3-1.5 fois aussi large que les yeux vus de dessus. Pas d'épines occipitales; épines frontales soulevées, subparallèles, à peu près aussi longues que le 1er article antennaire. Tubercules antennifères assez longs, soulevés, un peu di-



Figs 16-17: *Kalama josifovi* n.sp.: 16, holotype ♂ du Népal, habitus. 17, profil de l'avant-corps. Echelle en mm. Original.

vergents. Buccules hautes, avec 3-4 rangées de très petites aréoles. Antennes relativement longues pour une *Kalama*, hérissées sur le 3e article et sur la moitié basale du 4e de soies raides, aiguës, dressées perpendiculairement, portées par des tubercules, ces soies, tubercule compris, aussi longues que le double du diamètre des articles; 2-3 soies de même nature, mais considérablement plus brèves, sur chacun des 2 premiers articles. Premier article un peu plus long que les yeux; 2e article très petit, presque globuleux; 3e article un peu plus long que le diatone et 2.0-2.1 fois aussi long que le 4e qui est à peine fusiforme. Rostre atteignant le milieu du 1er sternite apparent de l'abdomen.

Pronotum 0.75 fois aussi long que large, lames marginales incluses. Ampoule antérieure bien formée, mais non proéminente en avant, et ne dépassant pas le bord postérieur de la tête. Lames marginales un peu redressées, un peu concaves, portant 3-4 rangées d'aréoles régulières. Carène médiane lamelliforme, unisériée; carènes latérales unisériées, à peu près aussi hautes que la médiane, ne dépassant pas en avant le milieu du disque. Disque subplan, densément ponctué, cependant brillant. Processus postérieur triangulaire, aréolé.

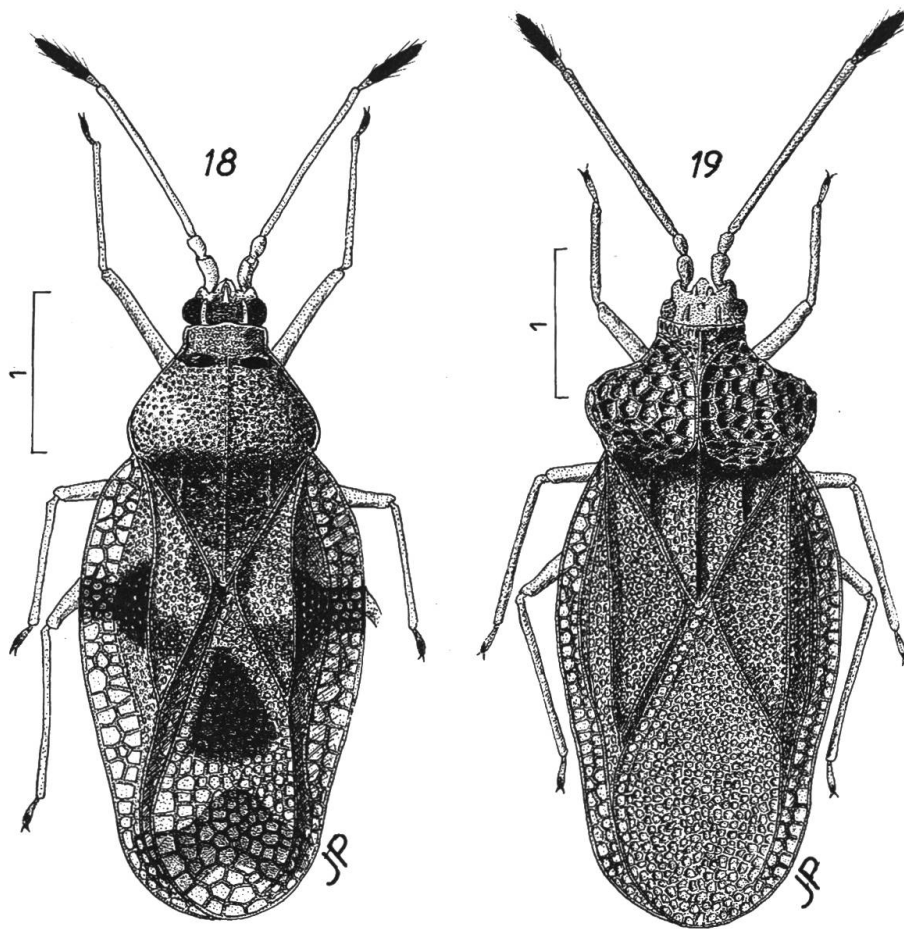
Hémélytres pris ensemble 1.55 fois (♂) ou 1.35 fois (♀) aussi longs que larges, laissant l'abdomen largement visible entre leurs bords suturaux, l'écartement de ceux-ci égal à la moitié (♂) ou subégal (♀) à la largeur hémélytrale. Lames costales unisériées, avec quelques cellules supplémentaires en avant; aires subcostales très déclives, avec 4-5 rangées de petites aréoles serrées; aires discoïdales concaves, 0.80-0.85 fois aussi longues que l'hémélytre, présentant 5 rangées de cellules dans leur région la plus large; aires suturales bisériées sur les 3/4 de leur longueur, élargies seulement à l'apex où elles portent 4-5 rangées d'aréoles et se recouvrent partiellement. Pattes grêles, peu robustes.

Sternites II et III (1er et 2e apparents) de l'abdomen marqués d'un sillon médian longitudinal prolongeant le sillon rostral thoracique.

Long: 2.75-2.85 mm.

Holotype (en mm). Long: tête 0.50; pronotum (processus postérieur inclus) 0.81; hémélytres 2.20; profémurs 0.50; protibias 0.62; métatibias 0.75; antennes (articles): (I)0.19- (II)0.09- (III)0.57- (IV)0.22; longueur totale du corps, du bord antérieur de la tête à l'apex des hémélytres, 2.85. Large: diatone 0.50; front entre les yeux 0.20; pronotum (lames marginales incluses) 1.05; hémélytres (ensemble) 1.35.

Cette *Kalama* rappelle beaucoup l'espèce ouest-paléarctique *K. ribesi* m., décrite d'après un ♂ unique du Nord-est de l'Espagne (PÉRICART, 1979a). Elle en diffère par son ampoule pronotale plus dévelop-



Figs 18-19: 18, *Hebetingis crux* n.sp., holotype ♀ du Sabah, habitus. 19, *Penottus abnormis* n.sp., holotype ♂ du Sabah, habitus. Echelles en mm. Original.

pée, les lames marginales de son pronotum moins relevées, ses antennes plus longues, à soies hérissées plus perpendiculairement.

Holotype et allotype: Népal: Solo-Khumbu, Dingboche, alt. 4500 m, 2.XI.1987, P. Beron. Holotype (Institut de Zoologie de l'Académie des Sciences de Bulgarie, Sofia), allotype (coll. Péricart).

Je suis heureux, en témoignage d'estime et d'amitié, de dédier cette espèce au Professeur Mikhail Josifov, qui me l'a communiquée.

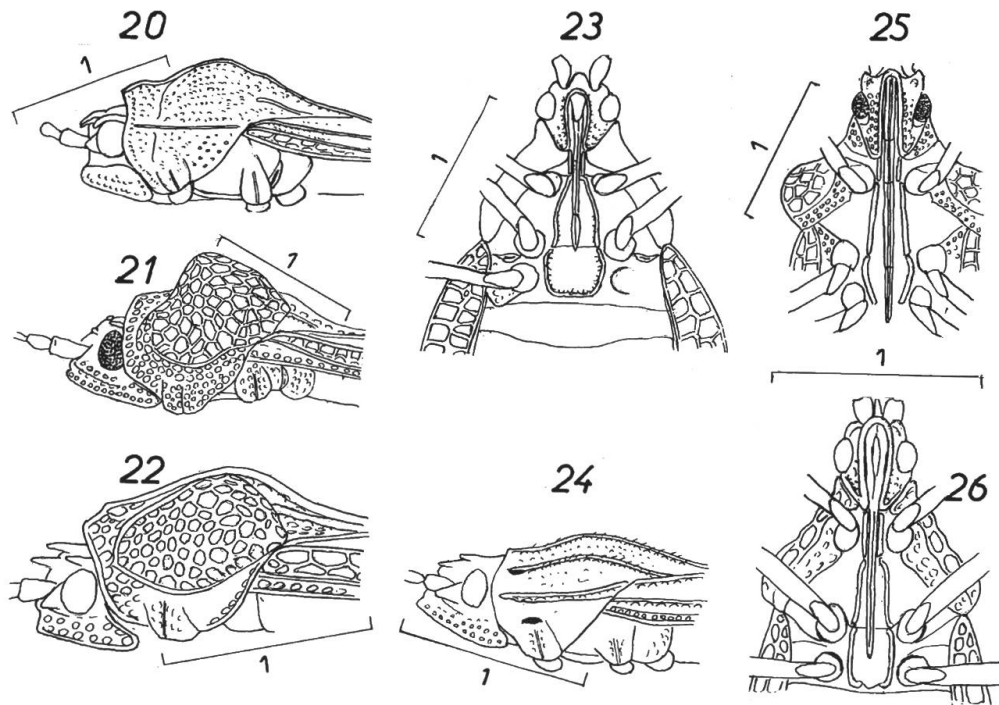
***Penottus abnormis* nov.spec.**

Figs 19, 21, 24.

La description qui suit est effectuée d'après un ♂ de l'île de Bornéo.

Habitus: (Fig. 19); profil de l'avant-corps (Fig. 21); dessous de l'avant-corps (Fig. 25).

Glabre. Tête noire en-dessus; tout le reste de la face dorsale brunâtre; antennes et pattes un peu plus clairs; 4e article antennaire noir,

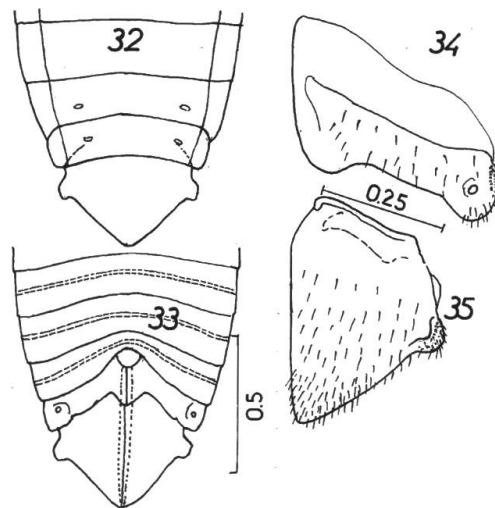
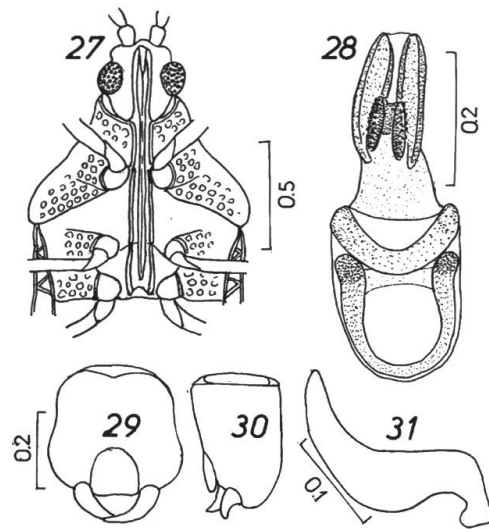


Figs 20-26: Profils et faces ventrales des avant-corps: 20, 23, *Hebetingis crux* n.sp. 21, 25, *Penottus abnormis* n.sp. 22, 26, *Physatocheila brunneinervis* n.sp. 24, *Eaulana ferritincta* Drake. Echelles en mm. Original.

éclairci à la base. Face ventrale du thorax noire sur les régions non aréolées. Abdomen brun rougeâtre.

Front 3.0 fois aussi large que les yeux vus de dessus, ceux-ci remarquablement petits. Processus céphaliques jaune brunâtre, les occipitaux appliqués, digitiformes, le médian réduit à un simple tubercule, les 2 frontaux à peine plus grands. Tubercules antennifères, vus de dessus, recourbés en crochets. Antennes assez longues et robustes; 3e article 2.3 fois aussi long que le diatone et 2.8 fois aussi long que le 4e, qui est fusiforme. Buccules peu élevées, non prolongées en avant du clypeus. Tempes munies de plaques post-oculaires claires. Rostre dépassant un peu le bord postérieur du métasternum.

Pronotum, processus postérieur inclus, 1.2 fois aussi long que sa largeur maximale. Disque entièrement caché par les 2 grandes bour-



Figs 27-35: *Physatocheila brailovskyi* n.sp., spécimens de Thaïlande. 27, face ventrale de l'avant-corps. 28, phallus du ♂. 29, 30, pygophore du ♂. 31, paramère du ♂. 32, face dorsale de l'abdomen de la ♀. 33, id., face ventrale. 34, première gonocoxopodite de la ♀. 35, paratergite IX de la ♀. Echelles en mm. Original.

soufflures formées par les lames marginales réfléchies, ces boursoufflures jointives, beaucoup moins hautes que longues, en forme de cônes émoussés, couvertes de grandes aréoles polygonales fortement sculptées. Ampoule peu marquée, à peine tectiforme. Carène médiane peu élevée, brune et unisériée sur la moitié antérieure de sa partie visible, noire et costiforme en arrière; partie visible des carènes latérales noire, costiforme. Processus postérieur triangulaire, densément couvert de petites aréoles.

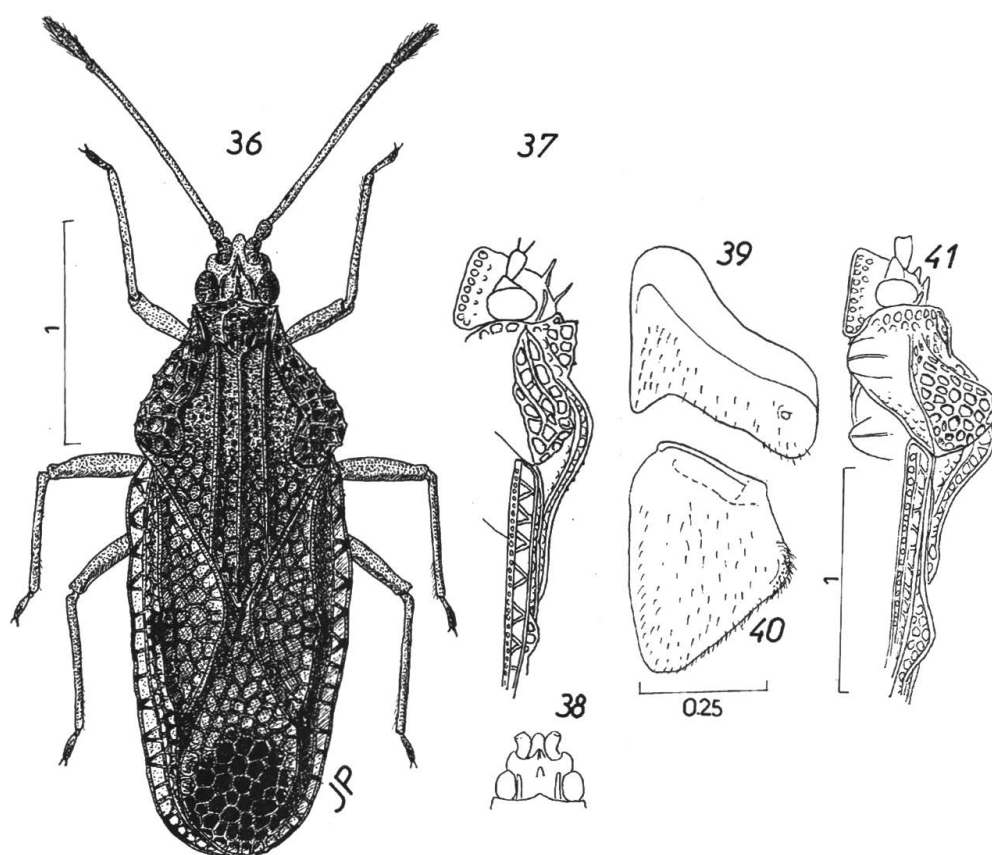
Hémélytres pris ensemble 1.65 fois aussi longs que larges et 1.2 fois aussi larges que le prothorax. Lames costales portant 2 rangées d'aréoles assez grandes avec quelques cellules intercalaires vers l'avant. Aires subcostales finement aréolées, subdivisées en 2 régions par une nervure longitudinale auxiliaire: une région inférieure le long des lames costales, fortement déclive, unisériée, et une région supérieure peu déclive, trisériée. Aires discoïdales aussi longues que les 3/5 de l'hémélytre, couvertes d'aréoles petites et serrées: on compte 10-11 cellules transversalement à la région la plus large. Aires suturales très grandes et larges, se recouvrant complètement et dépassant grandement l'apex de l'abdomen, entièrement couvertes de petites cellules très serrées: on compte 15-18 cellules transversalement à la région la plus ample.

Sillon rostral ouvert en arrière. Lames mésosternales un peu divergentes d'avant en arrière; lames métasternales un peu plus écartées, arquées. Gouttières odorifères visibles. Sternites abdominaux non sillonnés transversalement.

Mensurations (en mm). Long: tête 0.41; pronotum (processus postérieur inclus) 1.94; hémélytres 3.24; antennes (articles): (I)0.24- (II)0.15- (III)1.45- (IV)0.52; profémurs 1.04; protibias 0.96; métatibias 1.26; longueur totale du corps, du bord antérieur du clypeus à l'apex des hémélytres 4.50. Large: diatone 0.62; front entre les yeux 0.37; pronotum 1.65; hémélytres (ensemble) 1.95.

Cette espèce diffère de tous les autres *Penottus* connus par la forme ni sphérique ni ovoïde des protubérances du pronotum, ses hémélytres plus larges que son pronotum et à réseau formé sur tout le disque de très petites et très nombreuses cellules. Son habitus rappelle celui de certaines *Cysteochila* mais son appartenance au genre *Penottus* ne fait pas de doute: aires subcostales dédoublées, tempes portant des plaques post-oculaires, sternites non sillonnés transversalement.

Holotype: N Bornée (Sabah): Mt Kinabalu, alt. 2600 m, 1.V.1987, prélèvement n.° 8735, Burckhardt. (Musée d'Histoire Naturelle de Genève).



Figs 36-41: 36, 37, *Physatocheila brailovskyi* n.sp.: 36, habitus d'un ♂ de Thaïlande. 37, id., profil de l'avant-corps. 38-41, *Physatocheila gibbelytra* n.sp., spécimen de l'Inde (Goa). 38, tête vue de dessus. 39, gonocoxopodite I de la ♀. 40, paratergite IX de la ♀. 41, profil de l'avant-corps. Echelles en mm. Original.

Nota: il existe un autre spécimen ♂ appartenant au même prélèvement; il est immature et trop déformé pour être considéré comme un paratype; ce spécimen est préservé dans ma collection.

***Physatocheila brailovskyi* n.sp.**

Figs 27-37.

La description qui suit est effectuée d'après 6 ♂ dont l'holotype et 4 ♀ dont l'allotype.

Habitus (Fig. 36); profil de l'avant-corps (Fig. 37); face ventrale de l'avant-corps (Fig. 27); pygophore du ♂ (Figs 29, 30); paramère (Fig. 31); phallus (Fig. 28); derniers urites de la ♀ (Figs 32, 33); première gonocoxopodite (Fig. 34); paratergite IX (Fig. 35).

Ovale allongé: réticulation du dessus assez grossière; coloration gé-

nérale brunâtre avec quelques veinules noires, régions pleurales et abdomen bruns. Subglabre; carènes, nervures et veinules du réseau dorsal portant de rares et très petites soies claires mi-appliquées.

Tête brune; front 1.8 fois aussi large que les yeux vus de dessus. Epines occipitales minces, aussi longues que le 1^{er} article antennaire, digitiformes, soulevées, dirigées vers les épines frontales antérieures. Epine frontale médiane fine et dressée, implantée en position sub-occipitale, très en arrière des antérieures; épines antérieures très rapprochées, contiguës sur presque toute leur longueur, obliquement dressées. Tubercules antennifères obtus. Buccules assez élevées. Antennes relativement longues, les 2 premiers articles brun rougeâtre, le 2^e subconique, aussi long que les 2/3 du 1^{er} mais plus mince, le 3^e brun clair, légèrement épaissi et assombri à son apex, 2.25-2.50 fois aussi long que le diatone et 3.0-3.2 fois aussi long que le 4^e qui est fusiforme, brun noir. Rostre brun sombre, atteignant presque le bord postérieur du métasternum.

Pronotum 1.4-1.5 fois aussi long que large. Elévation antérieure assez bien développée, apparaissant tectiforme vue de profil et en ampoule vue de dessus, n'atteignant pas tout à fait le bord antérieur. Lames marginales portant 4-5 rangées d'aréoles assez grossières, rabattues sur le disque mais un peu déhiscentes en avant et nettement déhiscentes en arrière du milieu, à l'endroit de leur plus grande hauteur, n'atteignant pas les carènes médianes ou les touchant à peine en avant. Disque convexe, ponctué; carènes médiane et latérales lamelliformes mais peu élevées, unisériées, subparallèles, les latérales seulement légèrement divergentes en arrière. Processus postérieur aréolé, triangulaire.

Hémélytres pris ensemble 1.7-1.9 fois aussi longs que larges, avec leur plus grande largeur à la base. Lames costales obliquement relevées, à bord externe marqué de très faibles sinuosités irrégulières; aréoles triangulaires ou rectangulaires disposées en une seule rangée. Aires subcostales présentant 2 rangées de petites aréoles sur presque toute leur longueur; nervure (R+M) formant une saillie arrondie et assombrie vers le milieu du bord des aires discoïdales. Aires discoïdales atteignant les 2/3 de la longueur hémélytrale, présentant 5-6 aréoles polygonales transversalement à leur partie la plus large. Aires suturales se recouvrant complètement, avec 7-8 aréoles polygonales transversalement à leur région la plus ample; une large tache enfumée ou noirâtre sur la partie postérieure des aires suturales.

Pattes assez élancées; protibias 1.4-1.6 fois aussi longs que le dia-

tone, à peine plus longs que les profémurs; métatibias 1.1 fois aussi longs que les protibias.

Sillon rostral thoracique assez profond; lames sternales parallèles, celles du métasternum imperceptiblement arquées. Orifices odorifères bien visibles. Sternites V à VIII (♂) ou V à VII (♀) marqués d'un sillon transversal submédian sur toute leur largeur.

♂: Phallus présentant 2 phanères internes pourvues de petites aspérités (Fig. 31).

♀: Une ovivalvule bien développée à la base de l'ovipositeur. Bord latéral des paratergites IX pourvu d'une forte saillie externe. Premières gonocoxopodites à angle sutural postérieur très arrondi.

Long: 2.75-2.95 mm; large (hémélytres) 0.98-1.10 mm.

Holotype (en mm). Long: tête 0.28; pronotum 1.34; hémélytres 1.84; antennes (articles): (I)0.13- (II)0.10- (III)0.97- (IV)0.31; protibias 0.6; Large: diatome 0.39; front entre les yeux 0.19; pronotum 0.91; hémélytres (ensemble) 1.00. Longueur totale de l'extrémité antérieure des buccules au bord postérieur des hémélytres 2.85.

Cette espèce se distingue des autres *Physatocheila* sensu m. par sa taille assez petite, l'existence d'une élévation presque en ampoule en avant du pronotum, les lames marginales de celui-ci déhiscentes en arrière du milieu, la disposition sub-occipitale de son épine frontale médiane, et surtout la remarquable saillie latérale des paratergites IX des ♀.

Son habitus la rapproche beaucoup de certains *Trachypeplus* à téguments non épineux, dont l'éloignent cependant l'étroitesse du métasternum, le parallélisme des lames sternales, et la particularité des paratergites IX des ♀ notée ci-dessus. Au sein du genre *Physatocheila*, l'espèce la plus voisine me semble être *Ph. humeralis* (Distant, 1909), décrite de l'Inde, rapportée dans le Catalogue de Drake et Ruhoff au genre *Cysteochila*. Chez *humeralis*, dont j'ai vu à l'USNM un spécimen ♀ identifié par Horváth, la nervure (R+M) ne présente aucune élévation médiane, et d'après la figure donnée par Distant (1910: 121, Fig. 62) les aires suturales du spécimen-type sont considérablement plus développées.

Holotype (♂), allotype (♀), 7 paratypes (4 ♂, 3 ♀): Népal: Meghauly, Terai, Chitwan National Park, 7.IV.1986, H. Brailowsky (Instituto de Biologia UNAM, Mexico), 2 paratypes, 1 ♂, 1 ♀ (coll. Péricart). Un paratype (♂): Thaïlande: province de Chiang-Mai, Tomhok Forest Park, env. 8 km N de Mae Lang (environ 70 km NE de Mae Hong Son), alt. 700 m, 14.XI.1985, Burckhardt & Löbl (Musée d'Histoire Naturelle de Genève).

? *Physatocheila brunneinervis* n.sp.

Figs 22, 26, 42.

La description qui suit est effectuée d'après 3 spécimens ♀, syntypes.

Habitus (Fig. 42); profil de l'avant-corps (Fig. 22); face ventrale de l'avant-corps (Fig. 26).

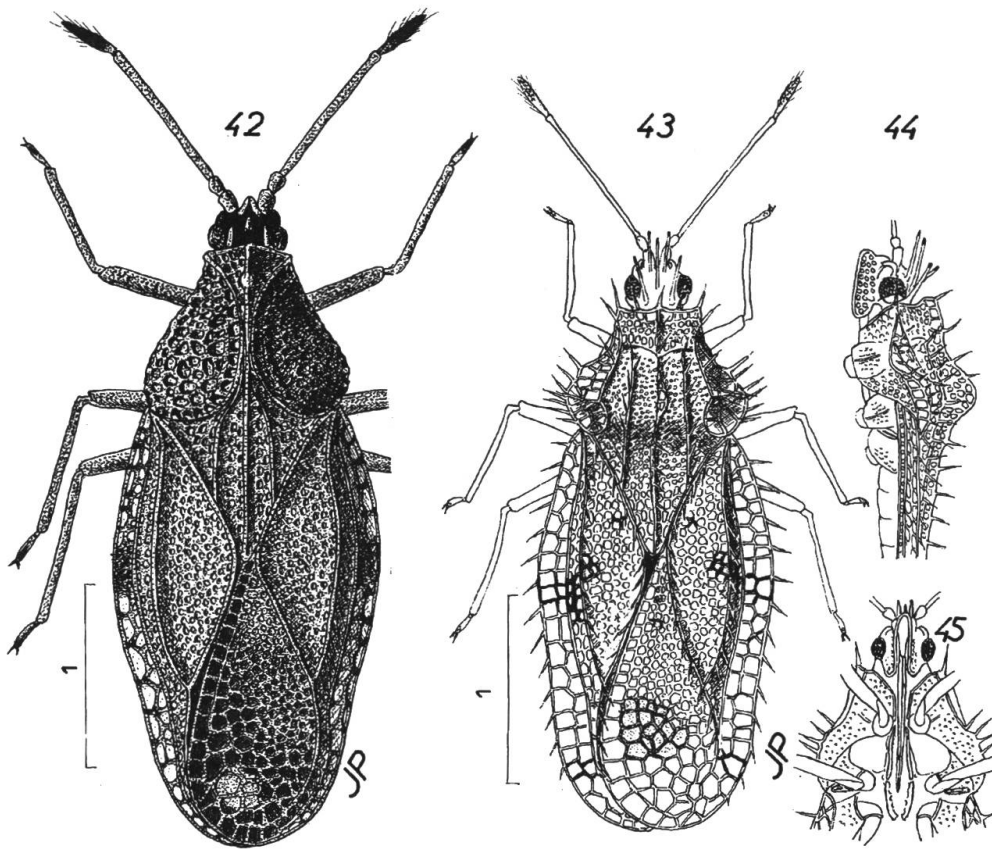
Oblong, subglabre, corps brun noir à noir, régions réticulées brunâtres, variées de sombre et de clair sur les hémélytres; antennes et pattes brun rouge à extrémités assombries.

Tête noire. Front 2-3 fois aussi large que les yeux vus de dessus. Epines céphaliques brun clair, robustes, les occipitales presque appliquées, aussi longues que le 1^{er} article antennaire, la médiane mi-dressée, de moitié plus courte, les 2 antérieures rapprochées, se touchant au sommet. Antennes robustes, 3^e article 2.15 fois aussi long que le diatone et 2.6 fois aussi long que le 4^e, qui est noir, éclairci à sa base. Buccules non proéminentes, portant 2 rangées d'aréoles. Rostre atteignant le milieu du métasternum.

Pronotum (processus postérieur inclus) 1.6-1.65 fois aussi long que large. Ampoule antérieure tectiforme, bien développée. Bords internes des lames marginales réfléchies contigus le long de la carène médiane, ces lames épousant la convexité du disque sans former de gibbosités; aréoles assez grandes, assez sculptées; on compte environ 8 cellules transversalement à la partie la plus ample. Disque complètement caché par les lames réfléchies. Carènes longitudinales lamellaires, unisériées, les deux latérales parallèles en arrière, puis sinuées-convergentes et contiguës à la médiane et disparaissant sous ou le long des bords des lames réfléchies. Processus postérieur triangulaire, régulièrement aréolé.

Hémélytres pris ensemble 1.7 fois aussi longs que larges. Lames costales bisériées, les aréoles grandes, polygonales, sauf sur une zone antémédiane assombrie où elles sont petites et arrondies; points de rencontre des veinules, surtout le long du bord latéral, généralement assombri. Aires subcostales bisériées sur toute leur longueur, les aréoles circulaires. Aires discoïdales régulièrement aréolées; on compte environ 9-11 rangées de cellules transversalement à leur plus grande largeur. Aires suturales amples, portant de grandes cellules polygonales dans leur région postérieure et le long de leur bord externe; dans ces mêmes régions les mailles sont plus sombres que les veinules, sauf sur une tache circulaire claire antéapicale mal délimitée.

Lames mésosternales parallèles; lames métasternales parallèles mais plus écartées que les précédentes, seulement légèrement arquées



Figs 42-45: 42, *Physatocheila brunneinervis* n.sp., habitus d'une ♀ du Népal. 43-45, *Pseudurentius elegans* n.sp., ♂ holotype de l'île de Palawan. 43, habitus. 44, profil de l'avant-corps. 45, face ventrale de l'avant-corps. Echelles en mm. Original.

vers chaque extrémité. Sternites abdominaux V à VII (4e à 6e apparents) marqués d'un sillon transversal vers leur milieu. Une petite ovalvule très peu sclérifiée à la base de l'ovipositeur.

Long: 3.60 mm; large (hémélytres) 1.45 mm.

Holotype (en mm). Long. Tête 0.19; pronotum (processus postérieur inclus) 1.76; hémélytres 2.40; antennes (articles): (I)0.17- (II)0.13- (III)0.88- (IV)0.34; profémurs 0.67; protibias 0.72; métatibias 0.92; longueur totale, du bord antérieur du clypeus à l'apex des hémélytres 3.60. Large. Tête (diatone) 0.47; front entre les yeux 0.27; pronotum 1.12; hémélytres (ensemble) 1.45.

Selon les critères que j'utilise pour séparer les deux genres *Physatocheila* et *Cystocheila* (Péricart, 1979b), cette espèce à métasternum non

cordiforme, à ovivalvule visible (bien que très petite) et sans gibbosités pronotales, me paraît devoir se ranger dans les *Physatocheila*, mais je suis conscient qu'il s'agit ici strictement d'une nécessité de subdivision pratique d'un vaste complexe.

?*Physatocheila brunneinervis* paraît assez voisine, quant à son habitus, de *Cysteocheila chiniana* Drake 1942, connue de Chine, du Japon et de Taïwan, et dont j'ai vu le Type à l'USNM. Cependant *C. chiniana* est plus petite, les lames marginales de son pronotum sont gibbeuses dans leur région antémédiane, et son 4e article antennaire est entièrement brun comme les précédents.

Holotype (♀), 1 paratype (♀): Népal oriental: Koshi, Gorza, alt. 2100 m, 5-6.VI.1985, M. Brancucci; 1 paratype (♀) Inde: Darjeeling Dist., Sukhai Simana, alt. 1600-2000 m, 31.IV-11-V.1986, B. Bhakta. Le paratype du Népal (coll. Péricart), l'holotype et l'autre paratype (Musée d'Histoire Naturelle Bâle).

***Physatocheila gibbelytra* n.sp.**

Figs 38-41.

La description qui suit est effectuée d'après 1 ♂, allotype, et 3 ♀ dont l'holotype.

Habitus: très semblable à celui de *Ph. brailovskyi* (Fig. 36); profil de l'avant-corps (Fig. 41); tête vue de dessus (Fig. 38); première gonocoxopodite (Fig. 39); paratergite IX (Fig. 40).

Espèce très voisine de *Ph. brailovskyi*, dont elle diffère par les caractères suivants.

Pilosité des carènes dorsales légèrement plus développée.

Epines frontales médiane et antérieures brèves, coniques, la médiane insérée nettement en avant des processus occipitaux digitiformes. Troisième article antennaire plus long, 2.65 fois (♂) ou 2.5 fois (♀) aussi long que le diatone, et 3.75 fois (♂) ou 3.45 fois (♀) aussi long que le 4e.

Ampoule antérieure du pronotum beaucoup moins élevée, cependant discernable, tectiforme. Lames marginales réfléchies plus hautes, un peu moins sculptées, comportant 6-7 aréoles transversalement à leur région la plus large.

Élévation de la nervure (R+M), vers les milieu des aires discoïdales, nettement plus haute (comparer Figs 41 et 37).

♀: bord latéral des paratergites IX pourvu seulement d'une saillie externe légère. Premières gonocoxopodites à angle sutural postérieur beaucoup plus marqué. (Le pygophore de l'unique ♂ n'a pas été disséqué).

Long: 2.9-3.15 mm; large (hémélytres) 1.05-1.15 mm.

Holotype (♀) (en mm). Long: tête 0.27; pronotum (processus postérieur inclus) 1.56; hémélytres 2.10; antennes (articles): (I)0.15- (II)0.11- (III)1.05- (IV)0.30; Large: diatone 0.27; front entre les yeux 0.21; pronotum 1.00; hémélytres (ensemble) 1.15.

Syntypes: Inde, province de Goa: Molem, alt. 120-140 m, 3-4.III.1984, W. Wittmer; Holotype, allotype (Musée d'Histoire Naturelle Bâle), 2 paratypes (coll. Péricart).

Pseudurentius n. gen.

Espèce-type: *Pseudurentius elegans* n.sp.

♂. Buccules soudées en avant. Tête portant 5 longs processus spiniformes. Pronotum pourvu de 3 carènes longitudinales lamelliformes, et de lames marginales réfléchies. Pronotum et hémélytres armés, sur leurs bords externes ainsi que sur diverses nervures, de longs tubercules spiniformes portant une soie raide terminale, comme chez les *Urentius* et certaines *Lasiacantha*. Gouttières odorifères bien développées. Sternites abdominaux V à VIII parcourus, vers leur milieu, sur toute leur largeur, par un sillon transversal.

Ce genre paraît assez voisin des *Physatocheila* et *Trachypeplus*, dont il diffère par ses remarquables tubercules spinifères. Sa ressemblance, à cet égard, avec les *Lasiacantha* et surtout les *Urentius* est due à une convergence.

Pseudurentius elegans n.sp.

Figs 43-45.

La description qui suit est effectuée d'après un spécimen ♂ unique, holotype.

Habitus (Fig. 43); profil de l'avant-corps (Fig. 44); face ventrale de l'avant-corps (Fig. 45).

Ovale oblong, subglabre en-dehors du système de tubercules sétigères. Corps brunâtre, pronotum et hémélytres jaunâtre clair avec quelques macules sombres çà et là sur les hémélytres. Antennes et pattes blanc jaunâtre, un peu rembrunies apicalement.

Tempes visibles en partie de dessus. Front 2 fois aussi large que les yeux vus de dessus. Epines céphaliques raides, dirigées obliquement vers l'avant, subégales entre elles, presque 1.5 fois aussi longues que la distance interoculaire, jaune blanchâtre, rembrunies à l'apex qui est subtronqué et porte quelques soies microscopiques, mais pas de grande soie raide terminale. Tubercules antennifères, vus de dessus, minces et arqués. Antennes fines; 1er article peu plus long que le se-

cond; 3e article 2.5 fois aussi long que le diatone et 3 fois aussi long que le 4e, qui est fusiforme, un peu assombri dans sa moitié apicale. Buccules à peine proéminentes en avant. Rostre atteignant le premier tiers du métasternum.

Pronotum, processus postérieur inclus, 1.5 fois aussi long que large. Ampoule tectiforme, pourvue de 3 épines sur sa carène sommitale; colerette antérieure aréolée, avec 5 épines au bord antérieur; dirigées vers l'avant. Lames marginales formées d'un réseau d'aréoles polygonales, réfléchies sur le disque, un peu déhiscentes, n'atteignant pas les carènes latérales, parcourues par une carène longitudinale et une petite carène transversale, qui portent chacune quelques épines; bord latéral armé de 6-7 épines dirigées vers l'extérieur; en outre, une aire épipleurale comportant une demi-douzaine d'aréoles rectangulaires est visible de profil sous la moitié postérieure des bords latéraux. Disque convexe, ponctué ainsi que la presque totalité du processus postérieur, dont seule la partie apicale est aréolée. Carène médiane longitudinale lamellaire, unisériée sauf sur le milieu du disque où elle forme un lobe saillant arrondi, trisérié. Carènes latérales lamellaires, parallèles, unisériées.

Hémélytres pris ensemble 1.70 fois aussi longs que larges, dépassant grandement l'abdomen; largeur maximale vers les 2/5 antérieurs. Lames costales portant 2 rangées d'aréoles polygonales ou rectangulaires à veinules étroites; une étroite zone sombre vers le milieu et une autre antéapicale. Bord externe portant une douzaine d'épines dirigées vers l'extérieur, les dernières progressivement plus courtes. Aires subcostales bisériées. Aires discoïdales portant 6 rangées de petites aréoles polygonales à l'endroit de leur plus grande largeur; nervures (R+M), Cu, et leur prolongement postérieur, partout armés d'épines dressées. Aires suturales se recouvrant complètement, aréoles de leur moitié postérieure grandes et polygonales, avec une zone rembrunie vers le milieu.

Sillon rostral relativement étroit; lames mésosternales un peu divergentes d'avant en arrière; lames métasternales peu distantes, arquées-convergentes et fermant presque le sillon rostral en arrière. Pattes assez graciles.

Mensurations (en mm). Long: tête 0.27; pronotum (processus postérieur inclus) 1.40; hémélytres 2.05; antennes (articles): (I)0.12- (II)0.08- (III)0.80- (IV)0.27; protibias 0.56; métatibias 0.64; longueur totale, du bord antérieur du clypeus à l'apex hémélytral, 3.05. Large: diatone 0.33; front entre les yeux 0.16; pronotum 0.97; hémélytres (ensemble) 1.20.

Holotype: Sabah (Nord-Bornéo): «Interior Residency», Bandokan, sur la route de Keningau vers Tambunan, près de la rivière Bunsit, alt. 380 m, 16.III.1983, Ch. Lienhard (Musée d'Histoire Naturelle de Genève).

Nota: L'espèce que j'ai décrite antérieurement (PÉRICART, 1986) sous le nom de *Trachypeplus borneensis* est de toute évidence congénérique avec *Pseudurentius elegans*, bien qu'il en diffère par un certain nombre de caractères frappants, auxquels on ne peut cependant accorder ici une valeur générique: tubercules spinifères considérablement plus courts, carène médiane du pronotum sans lobe dorsal, métasternum étroit. Je le transfère donc au genre *Pseudurentius*.

Tanytingis latipennis n.sp.

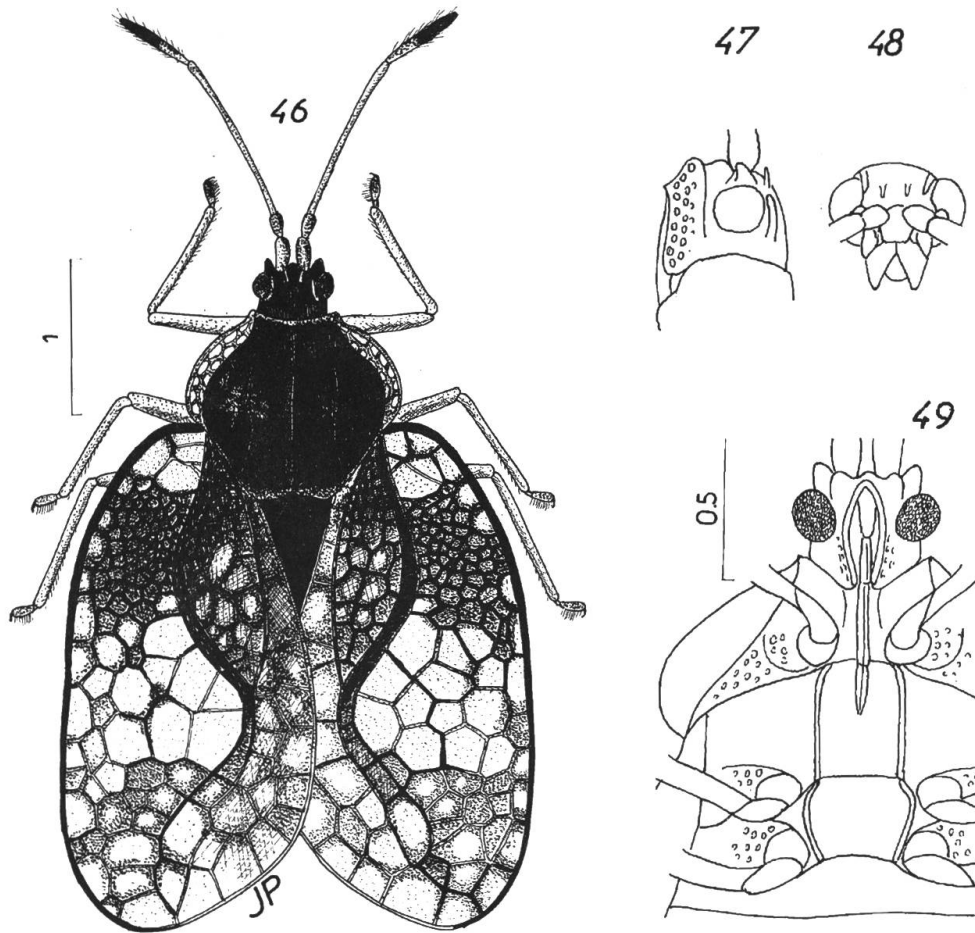
Figs 46-49.

La description ci-après est basée sur 1 spécimen ♀ unique, macroptère.

Habitus (Fig. 46); face ventrale (Fig. 49); tête (Figs 47, 48). Large, déprimé, subglabre. Coloration dominante brun noir. Tête noire, antennes brun clair à 3e article plus pâle, 4e article noirâtre dans sa moitié apicale. Rostre brunâtre, assombri à l'apex. Pronotum brun sombre sur le disque, un peu éclairci de part et d'autre des carènes latérales; lames marginales brun clair. Hémélytres variés de brun noir et de brun plus clair avec de nombreuses mailles incolores, notamment les plus grandes. Pattes brun clair, coxae et dernier article tarsal brun sombre. Dessous noir en entier.

Front convexe, luisant, environ 2.8 fois aussi large que les yeux vus de dessus. Processus céphaliques occipitaux minces, digitiformes, appliqués le long du bord interne des yeux, un peu plus longs que le 2e article antennaire; pas de processus frontal impair; processus frontaux pairs minces, soulevés, aigus, 2 fois plus courts que les occipitaux. Tubercules antennifères émoussés. Tempes dénuées de plaque post-oculaire. Premier article antennaire subcylindrique, 1.25 fois aussi long que le 2e, qui est subconique; 3e article beaucoup plus mince, 2.2 fois aussi long que le diatone et plus de 2 fois aussi long que le 4e article, qui est fusiforme. Buccules presque séparées en avant et présentant une saillie anguleuse vers le tiers antérieur de leur bord inférieur (Fig. 47). Rostre atteignant à peine le milieu du mésosternum.

Pronotum 1.2 fois aussi long que large; collerette antérieure vestigiale, réduite à une simple lisière avec une série de très petites aréoles. Lames marginales subplanes, portant 2 rangées de 6-7 aréoles irrégulières. Disque convexe, ponctué. Carène médiane fine, nullement la-



Figs 46-49: *Tanytingis latipennis* n.sp. 46, holotype ♀ de Thaïlande, habitus. 47, 48, tête vue de profil et de face. 49, face ventrale de l'avant-corps. Echelles en mm. Original.

melliforme; carènes latérales vestigiales sur le disque, cependant discernables, subparallèles à la carène médiane, plus saillantes et un peu divergentes en arrière. Processus antérieur très court, ponctué comme le disque, à bord postérieur subtronqué et un peu incisé en son milieu.

Hémélytres très larges, se recouvrant à peine au repos, pris ensemble 1.05 fois aussi longs que larges, pris séparément 2 fois aussi longs que larges, avec leur plus grande largeur presque au sommet. Réseau d'aréoles très irrégulier, les plus grandes cellules 2 à 4 fois aussi grandes que les plus petites; veinules brun noir à brun clair, mailles brun noir, brun clair ou incolores en partie ou en totalité, notamment les plus grandes. Lames costales très larges, fortement bisinuées sur leur bord interne, présentant vers le 1/3 antérieur une large bande transversale très sombre constituée par de nombreuses petite cellules, et en po-

sition antéapicale une autre bande transversale moins nette, moins sombre, à cellules assez grandes. Aires subcostales presque verticales, brun noir, bisériées en avant, unisériées dans la moitié postérieure. Aires discoïdales 0.5 fois aussi longues que les hémélytres, sombres, avec 4 rangées d'aréoles dans leur partie la plus large; les plus grandes cellules éclaircies au milieu. Aires suturales mal délimitées des aires discoïdales, avec en avant une seule rangée et en arrière 2 rangées de cellules assez grandes.

Pattes peu élancées; profémurs subégaux aux protibias et 1.6 fois aussi longs que le diatone; métatibias peu plus longs que les protibias; premier article des tarsi très petit et très étroit, 2^e article renflé en large fuseau, pourvu en dessous d'une longue brosse de soies blanches.

Gouttières odorifères petites mais discernables. Méso- et métacoxae distantes, sillon rostral large mais très peu profond, subplan; lames sternales réduites à de simples carènes nullement lamelliformes, celles du mésosternum parallèles, celles du métasternum arquées, à peine plus écartées. Sternites abdominaux dépourvus de sillon transversal médian.

♀: Une ovivalvule à la base de l'ovipositeur.

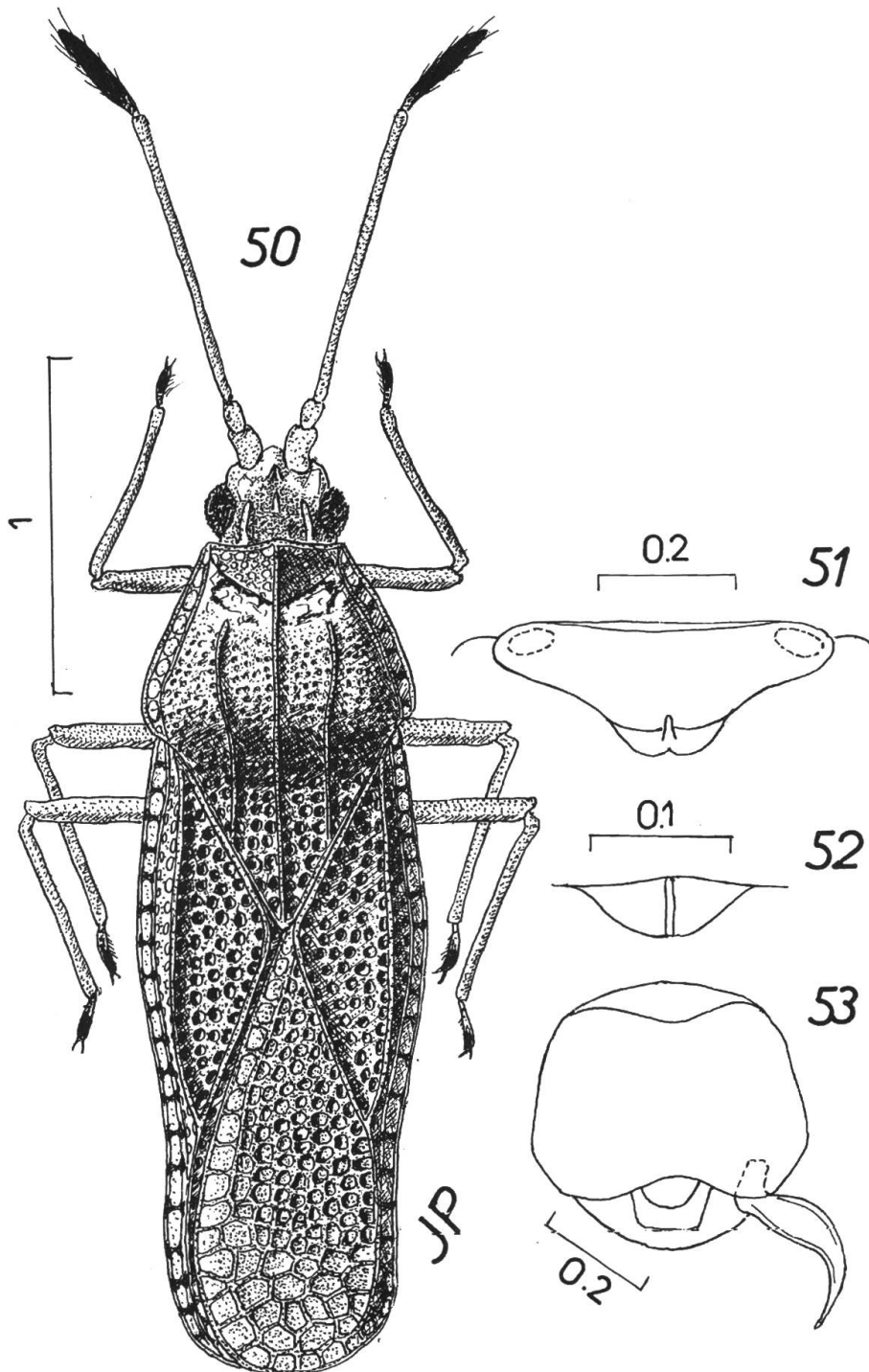
Mensurations (en mm): Long: tête 0.41; pronotum 1.31; hémélytres 3.15; antennes (articles: (I)0.19- (II)0.14- (III)1.09- (IV)0.48. Longueur totale: 4.2. Large: diatone 0.48; front entre les yeux 0.29; pronotum 1.40; hémélytres (ensemble) 3.00.

Tanytingis takahashii Drake, 1939, espèce-type du genre, qui habite l'île de Taïwan, diffère de *T. latipennis*, d'après la description, par les lames marginales de son pronotum réduites à des carènes à aréoles à peine discernables sauf aux extrémités, par ses hémélytres à aires subcostales plus larges portant «plusieurs» rangées d'aréoles, et à aires discoïdales très larges présentant 5-6 aréoles transversalement à leur partie la plus ample; enfin sa taille est plus grande: long 5.45 mm.

Tanytingis assamana Drake & Lutz, 1953, qui habite l'Assam et dont j'ai vu l'holotype ♀² et un paratype ♀, diffère de *T. latipennis* par les lames marginales de son pronotum plus larges et portant 2 rangée de chacune une douzaine d'aréoles. De plus chez *T. assamana* la région antérieure des lames costales porte de nombreuses petites cellules, alors qu'elle présente chez *T. latipennis* 2 grandes cellules et 3 petites.

Holotype: Thaïlande septentrionale: Prov. Chiang Mai; Doi Inthanon, alt. 1630 m, 7.XI.1985, Burckhardt & Löbl, (Musée d'Histoire Naturelle de Genève).

2. Et non ♂ comme indiqué dans la description d'origine.



Figs 50-53: *Ulonema burckhardti* n.sp., holotype ♂. 50, habitus. 51, tergite I vu de dessus en lumière transmise, après éclaircissement par la potasse. 52, vue frontale de l'apodème postérieur du tergite I. 53, pygophore et paramère droit (l'autre paramère manque). Echelles en mm. Original.

? *Ulonemia burckhardti* n.sp.

Figs 50-53.

La description qui suit est effectuée d'après 7 spécimens, soit 3 ♂ dont l'holotype et 4 ♀ dont l'allotype.

Habitus (Fig. 50); tergite I de l'abdomen (Figs 51, 52); pygophore du ♂ (Fig. 53).

Allongé, nullement ovale, subglabre. Corps noir couvert d'une sécrétion cireuse blanchâtre, surtout abondante en avant de la tête et sur les callosités du pronotum; pronotum, hémélytres et régions réticulées du dessous gris brunâtre; antennes brun rouge à 4e article noir sauf à la base; pattes brunâtres, dernier article tarsal noirâtre.

Tête noire. Front 2.8-3.2 fois aussi large que les yeux, qui sont petits, assez saillants. Epines occipitales et médiane jaune blanchâtre, généralement rembrunies à l'apex, aussi longues que les yeux, les occipitales appliquées ou mi-dressées, la médiane dressée; épines frontales antérieures très petites, blanc jaunâtre, convergentes et contiguës à l'apex. Antennes élancées mais assez robustes, 0.55 fois aussi longues que le corps; 3e article 2.3-2.4 fois (♂) ou 2.0-2.2 fois (♀) aussi long que le diatone, et 3.3-3.5 fois (♂) ou 3.0 fois (♀) aussi long que le 4e article. Bucules nullement proéminentes en avant. Rostre atteignant le tiers antérieur du métasternum.

Pronotum, processus postérieur inclus, 1.5-1.6 fois aussi long que large. Collerette antérieure pourvue de 3 rangés d'aréoles et culminant en une ampoule tectiforme peu élevée. Lames marginales mi-dressées, portant une rangée de cellules rectangulaires séparées par des veinules brun sombre, parfois une ou deux cellules dédoublées en avant. Disque modérément convexe, brun clair, ponctué. Carènes longitudinales peu élevées, unisériées, parallèles sur la moitié postérieure, les 2 latérales divergeant vers l'avant. Processus postérieur triangulaire, à réseau d'aréoles polygonales, plus grandes vers l'arrière.

Hémélytres pris ensemble 2.0-2.1 fois aussi longs que larges. Lames costales unisériées, un peu relevées, à aréoles rectangulaires semblables à celles des lames pronotales, séparées par des veinules brun sombre. Aires subcostales bisériées. Aires discoïdales portant 5-7 rangées d'aréoles à l'endroit de leur plus grande largeur. Aires suturales se recouvrant complètement, dépassant nettement l'abdomen, à réseau d'aréoles polygonales de dimensions croissantes de la base au sommet, et avec une rangée de grandes cellules rectangulaires le long du bord externe; on compte 7-8 cellules transversalement à la plus grande largeur.

Pattes relativement brèves, les postérieures peu plus longues que

les antérieures. Gouttières odorifères bien visibles. Lames mésosternales et métasternales parallèles, équidistantes, sillon rostral étroit mais profond.

Tergite I de l'abdomen (Fig. 51) portant, au bord postérieur de sa face intra-abdominale, une apophyse sclérifiée prolongée de part et d'autre dans le sens transversal par une petite aile également sclérifiée (Fig. 52). Sternites V à VIII (♂) ou V à VII (♀) marqués d'un sillon médian transversal sur toute leur largeur. Paramères du ♂ très acérés (Fig. 53).

Long: 2.80 mm (♂, ♀).

Mensurations de l'holotype (en mm). Long: tête 0.23; pronotum (processus postérieur inclus) 1.23; hémélytres 1.93; antennes (articles): (I)0.15- (II)0.11- (III)1.06- (IV)0.30; profémurs 0.54; protibias 0.56; métatibias 0.64. Large: diatone 0.47; front entre les yeux 0.27; pronotum 1.24; hémélytres (ensemble) 0.91.

Ulonemia burckhardti se rapproche d'*Ulonemia plesia* Drake & Ruhoff, 1961, dont j'ai vu l'holotype à l'USNM, et d'*U. mjobergi* (Horváth, 1925), qui habitent la même région. Elle diffère de ces deux espèces par sa taille un peu plus petite, sa coloration plus grisâtre en-dessus, ses lames marginales et costales un peu plus étroites, l'ampoule du pronotum un peu moins haute et le disque un peu moins convexe; elle diffère en outre d'*U. plesia* par sa forme plus allongée et plus parallèle.

A mon avis, l'appartenance de ce groupe d'espèces au genre *Ulonemia*, dont l'espèce-type est *U. dignata* (Drake & Poor, 1937), reste à prouver.

Holotype, Paratypes: Australie: New South Wales, mts Brindabella, Mt Genini, 21.XII.1986 (Musée d'Histoire Naturelle de Genève); 2 paratypes, 1 ♂, 1 ♀, (coll. Péricart).

J'ai le plaisir de dédier cette espèce à son collecteur, Dr. D. Burckhardt.

III. Références

- DISTANT, W. L. (1909); *New Original Tingitidae*. Annl. Soc. ent. Belg. 53:113-123.
- DRAKE, C. J. (1927): *Tingitidae from the Far East and Madagascar (Hemiptera)*. Philipp. J. Sci. 34(3):307-312.
- DRAKE, C. J. (1939): *A new genus and species of tingitid (Hemiptera) from Formosa*. Trans. Nat. Hist. Soc. Formosa 29(191):205-206.
- DRAKE, C. J. (1942): *New Tingitidae (Hemiptera)*. Iowa St. Coll. J. Sci. 17(1):1-21.
- DRAKE, C. J. (1953): *Synonymic data and description of new genera and species of Tingidae (Hemiptera)*. Gt. Basin. Nat. 13(3-4):91-99.
- DRAKE, C. J. (1960): *Tingidae of New-Guinea (Hemiptera)*. Pacif. Insects. 2(3):339-380.
- DRAKE, C. J. & LUTZ, J. C. (1953): *Two undescribed Tingidae from India (Hemiptera)*. Bull. Brooklyn ent. Soc. 48(4):104-106.
- DRAKE, C. J. & POOR, M. E. (1936): *New Indian Tingitidae (Hemiptera)*. Indian Forest Rec. 2(5):141-149.
- DRAKE, C. J. & POOR, M. E. (1937): *Tingitidae from Malaysia and Madagascar (Hemiptera)*. Philipp. J. Sci. 62(1):1-18.
- DRAKE, C. J. & RUHOFF, Fl. A. (1961): *New genera and new species of lacebugs from the Eastern Hemisphere (Hemiptera: Tingidae)*. Proc. U.S. Nat. Hist. Mus. 113, n.º 3455:125-183.
- HORVÁTH, G. (1905): *Tingitidae novae vel minus cognitae e regione Palaearctica*. Ann. hist. nat. Mus. natn. Hung. 3:556-572.
- HORVÁTH, G. (1925): *Results of Dr. E. Mjöberg's swedish scientific expedition to Australia 1910-13. 45. Tingitidae*. Ark. Zool. 17A(24):1-17.
- MOTSCHULSKY, V. (1863): *Essai d'un catalogue des insectes de l'île Ceylan* Bull. Soc. Imp. Nat. Moscou. 36, 2(3):1-153.
- PÉRICART, J. (1979a): *Révision systématique des Tingidae Ouest-paléarctiques. 4. Contribution à la connaissance du genre Dictyonota Curtis (Hemiptera)*. Eos, Madrid 53 (1977):183-211.
- PÉRICART, J. (1979b): *Insects of Saudi Arabia. Hemiptera: Fam. Tingidae. Fauna of Saudi Arabia. 1: 105-114*.
- PÉRICART, J. (1983): *Hémiptères Tingidae euro-méditerranéens. Faune de France, n.º 69, 620 p.* Paris, Fédération Française des Sociétés de Sciences naturelles.
- PÉRICART, J. (1985): *Trois espèces nouvelles de Tingidae du Nord-Pakistan et du Népal (Hemiptera)*. Revue suisse Zool. 92(3):675-680.
- PÉRICART, J. (1986): *Hémiptères Tingidae du Nord de Bornéo et de l'île de Palawan (Philippines)*. Revue suisse Zool. 93(3):647-660.

Adresse de l'auteur:

Ing. J. Péricart

10 rue Habert

F-77130 Montereau, France

